

4/90

الجمهورية الجزائرية الديمقراطية الشعبية  
REPUBLIQUE ALGERIENNE DEMOCRATIQUE ET POPULAIRE

1ex

وزارة التعليم العالي  
MINISTRE DE L'ENSEIGNEMENT SUPERIEUR

المدرسة الوطنية المتعددة التقنيات  
BIBLIOTHEQUE — المكتبة  
Ecole Nationale Polytechnique

ECOLE NATIONALE POLYTECHNIQUE

DEPARTEMENT : Hydraulique

# PROJET DE FIN D'ETUDES

SUJET

حساب التصفيق الاصغرى والاعظمى المتوافق  
مع ظهور القفزة المائية في الاقنية  
المثلثية والمستطيلة الشكل

Proposé par :

Etudié par :

Dirigé par :

مهدى محمد البشير

أحمد الخطيب

مهدى محمد البشير

EL-KHATIB\_Ahmed

PROMOTION : juin\_1990

MINISTERE DE L'ENSEIGNEMENT SUPERIEUR  
ECOLE NATIONALE POLYTECHNIQUE

وزارة التعليم العالي  
المدرسة الوطنية  
المتعددة التقنيات

Departement :HYDRAULIQUE  
Promoteur :MAHDI M. ELBACHIR  
Elève Ingenieur :EL KHATIB AHMED

دائرة : الري  
الموجه : المهدي محمد البشير  
تلميذ مهندس : أحمد الخطيب

الموضوع : حساب التدفق الاصفى والاعظمى المتوافق مع ظهور القفزة المائية في الاقنية المثلثية والمستطيلة الشكل

الملخص :

هذه الاطروحة تعالج ظاهرة لوحظت حديثا في الاقنية المكشوفة اثناء تصريف المياه . فلقد لوحظ أنه إذا فقدنا القفزة المائية بين بوابة تصريف المياه وعتبة تبديد الطاقة ، وأصبح الجريان في هذه المنطقة شلاليا ، لا نستطيع وقتما إرجاع القفزة المائية إلا عند تدفق أصغر من التدفق السابق .  
قمنا بدراسة وتحديد هذين التدفقين في الاقنية المثلثية والمستطيلة الشكل ، وأجرينا تجارب عملية من أجل الاقنية المستطيلة الشكل .

Sujet : La détermination des débits maximum et minimum compatibles en presence d'un ressaut hydraulique dans les canaux à section rectangulaire et triangulaire .

Resumé:

Ce mémoire traite un nouveau phénomène remarqué récemment dans les canaux à ciel ouvert durant l'évacuation de l'eau. Il a été constaté que si le ressaut hydraulique entre la vanne et le seuil disparaît et le régime torrentiel prédomine pendant l'évacuation de l'eau , nous ne pouvons le faire réapparaître qu'avec un débit nettement inférieur au débit précédent . On a étudié et déterminé ces débits maximum et minimum dans les sections triangulaires et rectangulaires , et une étude expérimentale a été faite pour les canaux rectangulaires.

Subject: The determination of the maximum and minimum discharge in the open channels accompanied with a hydraulic jump, in the rectangular and triangular sections.

Abstract:

This memory deals with a new phenomenon, noticed recently in open channels during a water evacuation . It was noticed that if the hydraulic jump disappeared during a water evacuation and we have a rapid flow between the sluice gate and the sill we could not make it reappear only if we have a discharge which is inferior to the precedent one. We studied and determined the maximum and minimum discharge in the triangular and rectangular sections ,and an experimental study was made for the rectangular sections.

الصفحة	الموضوع
1	مقدمة .....
	* الفصل الاول : مبادئ أولية
2	الجريانات فى الاقنية المكشوفة .....
2	الشكل الهندسى للقناة .....
3	العناصر الهندسية لمقطع القناة .....
5	تغيرات السرعة فى مقطع عرضى من القناة .....
5	قياس السرعة الوسطية .....
6	معاملات توزيع السرعة .....
7	تعيين قيم معاملات توزيع السرعة .....
8	مخطط توزيع السرعة .....
	* الفصل الثانى : الجريان الحرج فى الاقنية المكشوفة
	ذات المقطعين المثلثى والمستطيل الشكل
11	المعادلة العامة للجريان الحرج .....
12	مميزات الجريان الحرج .....
15	معامل المقطع للجريان الحرج .....
16	حساب الجريان الحرج .....
17	مقارنة بين المقطعين المثلثى والمستطيل الشكل .....
	* الفصل الثالث : المقطعين المثلثى والمستطيل
	الشكل فى التحليل اللاحدى
19	العمق النظامى .....
20	القناة المستطيلة الشكل فى التحليل اللاحدى .....
22	القناة المثلثية الشكل فى التحليل اللاحدى .....
25	مقارنة بين المقطعين فى التحليل اللاحدى .....
	* الفصل الرابع : القفزة المائية
28	تعريف .....
28	وصف القفزة .....
29	المعادلة العامة للقفزة .....
30	القفزة فى الاقنية ذات المقطع المستطيل .....
32	القفزة فى الاقنية ذات المقطع المثلثى .....
34	موضع القفزة .....

بِسْمِ اللّٰهِ الرَّحْمٰنِ الرَّحِیْمِ

وَأَنْزَلْنَا مِنَ السَّمَاءِ مَاءً بِقَدَرٍ  
فَأَسْكَبْنَا فِي الْأَرْضِ وَإِنَّا عَلَىٰ ذَهَابِ  
بِئْسَ لِقَادِرُونَ

صَدَقَ اللّٰهُ الْعَظِیْمُ

18 / الحج



إهداء .....

إلى عيون ساهرة تحمى مآذن القدس

وقبة الصخرة.....

إلى أطفال شمروا عن سواعدهم

ليذودوا عن مقدساتنا بصدورهم الغضة

أطفال حجارة فلسطين .....

إلى أرواح شهدائنا في فلسطين

وكل بقعة من ديار المسلمين ..

إلى عيون رقبتي وبالحب أمدتني

.....والدي الغاليين .....

إلى عيون على المضي أحشتني

.....إخوتي .....

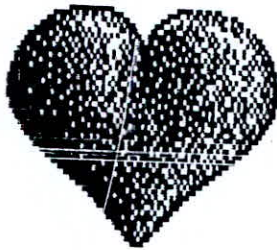
وعيون بالامل أمدتني

.....أصدقائي .....



## كلمة شكر :

أخص بتقديري وإحترامي إلى كل من  
ساعدني وأمدني بالعلم والمعرفة تارة= والامل  
تارة= أخرى ، للوصول بي إلى نهاية  
الطريق مسدد الخطى ، نائلا للمراد باذن الله  
فكل الشكر والعرفان لمن كانوا  
لمعرفتي بناة= ولفكري منارة=  
إلى أساتذتي في المدرسة العليا  
المتعددة التقنيات في الجزائر ، وأخص  
بالذكر منهم :  
الاستاذ : المهدي محمد البشير  
ممتنا له إشرافه على رسالتي هذه ....  
وكذلك الاستاذ : عاشور ممتنا له توجيهه  
ونصائحه .



الصفحة	الموضوع
1	مقدمة .....
	* الفصل الاول : مبادئ أولية
2	الجريانات فى الاقنية المكشوفة .....
2	الشكل الهندسى للقناة .....
3	العناصر الهندسية لمقطع القناة .....
5	تغيرات السرعة فى مقطع عرضى من القناة .....
5	قياس السرعة الوسطية .....
6	معاملات توزيع السرعة .....
7	تعيين قيم معاملات توزيع السرعة .....
8	مخطط توزيع السرعة .....
	* الفصل الثانى : الجريان الحرج فى الاقنية المكشوفة
	ذات المقطعين المثلثى والمستطيل الشكل
11	المعادلة العامة للجريان الحرج .....
12	مميزات الجريان الحرج .....
15	معامل المقطع للجريان الحرج .....
16	حساب الجريان الحرج .....
17	مقارنة بين المقطعين المثلثى والمستطيل الشكل .....
	* الفصل الثالث : المقطعين المثلثى والمستطيل
	الشكل فى التحليل اللابعدى
19	العمق النظامى .....
20	القناة المستطيلة الشكل فى التحليل اللابعدى .....
22	القناة المثلثية الشكل فى التحليل اللابعدى .....
25	مقارنة بين المقطعين فى التحليل اللابعدى .....
	* الفصل الرابع : القفزة المائية
28	تعريف .....
28	وصف القفزة .....
29	المعادلة العامة للقفزة .....
30	القفزة فى الاقنية ذات المقطع المستطيل .....
32	القفزة فى الاقنية ذات المقطع المثلثى .....
34	موضع القفزة .....

\* الفصل الخامس : الجريانات المتفيرة تدريجيا  
المنحنيات الراجعة

37	.....	مبادئ أولية
38	.....	المعادلة العامة
39	.....	حساب المنحنيات الراجعة
		* الفصل السادس : التدفق الاعظمى والاصغرى المتوافق مع وجود قفزة مائية فى المقطعين المثلثى والمستطيل الشكل - الدراسة النظرية -
42	.....	مقدمة
43	.....	حالة القناة المثلثية الشكل
50	.....	حالة القناة المستطيلة الشكل
57	.....	مقارنة بين المقطعين
		* الفصل السابع : التدفق الاعظمى والاصغرى المتوافق مع وجود قفزة مائية فى المقطعين المثلثى والمستطيل الشكل - الدراسة التجريبية -
64	.....	مقدمة
64	.....	تحليل النتائج
65	.....	تقدير الاخطاء
67	.....	النتيجة
69	.....	الملحق (1)
78	.....	الملحق (2)
84	.....	قائمة المراجع



## مقدمة

اللغة ضرب من الاتفاق الاجتماعي ، بذلك فهي من أخص خصائص المجتمع ، بل إنها تشكل جزءا هاما من الشخصية الاجتماعية لمجتمع ما ، يجب الحفاظ عليها وتطويرها وإلا فليس أسوأ من أن يفقد المجتمع شخصيته ، فمجتمع بلا شخصية هو مجتمع ميت .

إن تطور لغة ما لهو إنعكاس للتطور الفكري الذي وصل إليه المجتمع الناطق بها ، فاللغة هي الوعاء الذي يستوعب الفكر ، فكلما تطور الفكر وتنوع ، اضطر الوعاء اللغوي للاتساع . فتطور اللغة وتطور الفكر يسيران جنبا إلى جنب موازيين لبعضهما .

ولعل خصوصية لغتنا هي كونها ليست فقط لغة مجتمعنا ، بل اللغة التي إختارها المولى عز وجل لحمل كلامه ألا وهو القرآن العظيم ، فالحفاظ على هذه اللغة يعني الحفاظ على هذا الدين ويعني أيضا الحفاظ على أنفسنا من الضاع الفكري والثقافي الذي تفرضه علينا حملة التغريب الحاقدة والتي هدفها ليس نقل المعرفة كما يزعمون ، بل القضاء على هذا الدين وإبقاء الشعوب الإسلامية مخدرة وناائمة ليسهل إقتناصها وسلب خيراتها ، كما قال يوما وزير خارجية بريطانيا السابق - تشرشل - في معنى الحديث: إياكم والليث القابض في الشرق ، أبعدوا عنه هذا - وأشار إلى قرآن يحمل في يده - ليسهل عليكم قيادته أو إستعمارها .

فرسالتى هذه هي حلقة فى السلسلة التى تهدف إلى جعل اللغة العربية تعيش لحظات القفز المعرفى فى تاريخ العلم .

وتتمثل هذه الرسالة فى معالجة موضوعا جديدا فى تاريخ الرى وهو الظاهرة التى لوحظت من قريب عهد ، فى شأن تصريف المياه فى الاقنية المكشوفة بواسطة بوابة مع الاحتفاظ بالقنطرة المائية الثابتة بين البوابة وعتبة تبديد الطاقة من أجل الحصول على ضياعات فى الطاقة معتبرة تحول دون عمليات الحت لقاء قناة التصريف ، فلقد لوحظ أننا إذا فقدنا تلك القنطرة وأصبحت منطقة الجريان بين البوابة والعتبة هى منطقة الجريان الشلالى ، لانستطيع عندها أن نرجع تلك القنطرة إلا عند تدفق أصغر من ذلك التدفق الاعظمى السابق . لذا حاولنا فى هذه الرسالة تحديد قيمتى هذين التدفقين الاعظمى والاصغرى فى الاقنية ذات المقطع المستطيل والمثلثى الشكل والمقارنة بينهما لمعرفة المقطع المفضل للاستخدام .

\*

## الفصل الاول

\*

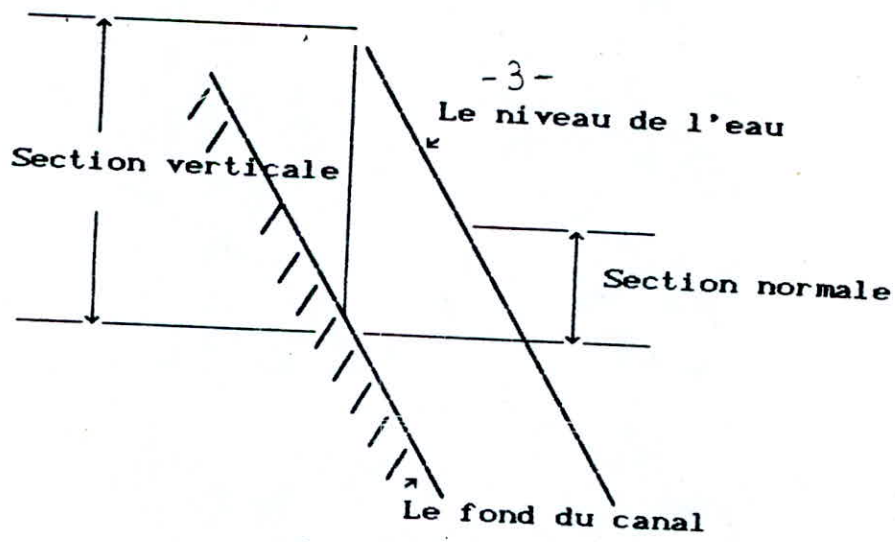
### مبادئ أولية

#### 1- الجريان في الاقنية المكشوفة :

الاقنية المكشوفة هي نواقل مائية يكون فيها السطح السائب معرضا للجو، وبالتالي للضغط الجوي فقط. وقد تكون القناة مغطاة كالتنفق في منطقة جبلية مثلا، غير أن الماء يجب أن لا يملا التنفق تماما = كي لا يعلو الضغط فوق الضغط الجوي وأن يصبح التنفق عندئذ أنبوبا تجرى فيه المياه تحت الضغط. إن مقاطع هذه الاقنية قد تكون منتظمة كاقنية الري والمجاري داخل المدن، أو غير منتظمة كالا نهار والا ودية مثلا. يتعرض الماء أثناء جريانه في القناة إلى الاحتكاك بجوانبها مما يضعف حركة الماء فيها، غير أن ميل القناة يكسب الماء الموجود فيها قدرة كامنة تدفع الماء للجريان و التغلب على القدرة الضائعة بسبب الاحتكاك.

#### 2- الشكل الهندسي للقناة :

نقول عن قناة أنها ذات مقطع موشوري : إذا كانت مقاطع هذه القناة ثابتة وكان ميل محورها ثابت أيضا، أما الاقنية التي يختلف تعريفها عن هذا التعريف فهي اقنية غير موشورية. إن كلمة مقطع القناة هي بالتعريف : المقطع العرضي للقناة العمودي على اتجاه التيار، أما المقطع الشاقولي للقناة فهو ذلك المقطع الشاقولي المار من أخفض نقطة لمقطع القناة. وكما يبينه الشكل ٤. فالاقنية الافقية هي تلك الاقنية التي ينطبق مقطعيها العادي والشاقولي معا.



ان مقاطع الاقنية هي عادة غير منتظمة وتختلف هذه الاقنية من اقنية ذات مقطع شبيه بالمقطع المكافئ الى اقنية بشكل شبه منحرف إن الاقنية بشكل شبه منحرف هي الاقنية الاكثر شيوعا واستعمالا بسبب ميلان الجدران الجانبية مما يعطيها الثبات ومقاومة الانهيار. إما الاقنية المستطيلة فهي المفضلة بحالة استعمال مواد بناء ثابتة مثل : الحديد - الصخور .. الخ.

تستخدم الاقنية مثلثية المقطع في عمليات الصرف الصغيرة، على ضفاف الطرق أو في الاعمال المخبرية التي لا تحتاج الى حجوم مياه كبيرة للتصريف .

أما الاقنية دائرية المقطع فهي تستخدم في اقنية التصريف للمياه القذرة المتوسطة والصغيرة الحجم .

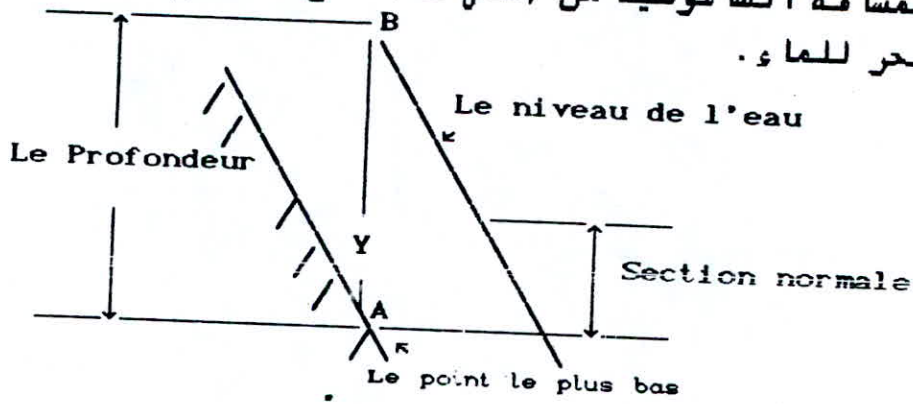
هذه هي اذن المقاطع الاكثر شيوعا واستعمالا ، الا أنه يجب التنويه بوجود عدة أنواع أخرى من الاقنية المستعملة حسب الاغراض الخاصة المطلوبة منها .

### 3- العناصر الهندسية لمقطع القناة :

العناصر الهندسية لمقطع القناة هي العناصر التي تميز ذلك المقطع تماما عن غيره وهي على التوالي :

1- عمق التيار (Y) :

هو المسافة الشاقولية من أخفض نقطة من المقطع العادي للقناة الى  
السطح الحر للماء .



2. عمق نقطة ما من التيار (d) :

هو المسافة الشاقولية بين هذه النقطة والسطح الحر للسائل .

3. العرض العلوي للمقطع (T)

هو عرض السطح الحر لمقطع القناة .

4. المحيط المبلول (P)

هو المحل الهندسي للنقاط التي تمثل تقاطع المستويات المبللة  
للمنارة مع المقطع العرضي للقناة العمودي على اتجاه التيار .

5. نصف القطر المائي (R)

بالتعريف هو :

$$R=A/P$$

حيث A هو مساحة المقطع العرضي للتيار  
المائي العمودي على اتجاه التيار .

6. العمق المائي (D)

هو بالتعريف :

$$D=A/T$$

7. معامل المقطع في الجريانات الحرجة :

هو بالتعريف :

$$Z=A.\sqrt{(D)}$$

## 8. معامل المقطع في حساب الجريانات المنتظمة

هو بالتعريف :

$$Z = A \cdot R^{(2/3)}$$

### 3- تغيرات السرعة في مقطع عرضي من القناة :

إن السرعة الفعلية لجريان الماء في القناة تختلف من نقطة إلى أخرى في مقطعها العرضي ، فاحتكاك الماء بجدران القناة يضاعف من سرعة الجريان قرب جدران القناة ، كما أن احتكاك الهواء بالسطح الحر للماء في القناة يخفف أيضا من السرعة لدى سطح الماء في القناة ( تاثير خفيف أو مهمل عادة ) . لذا فان السرعة العظمى للجريان تقع على محور القناة والى الاسفل قليلا من سطحها وهي تظهر عادة أسفل السطح ب 0.05 الى 0.25 من عمقها .

في الحقيقة وبسبب تاثير جدران الاقنية فان الجريان داخل الاقنية الموشورية المستقيمة هو ذو ثلاث أبعاد بالنسبة لمركبات السرعة وذلك لنشوء التيارات الحلزونية فيها ، لكننا نعمل عادة هذه التيارات لتاثيراتها الغير معتبرة .

إن زيادة عرض القناة يجعل تاثير جدرانها على الجريان مهملا خاصة كلما اقتربنا من مركز الجريان ، فلذلك نعتبر ان الجريان في الاقنية العريضة (عرضها أكبر ب 10 مرات ارتفاع الماء فيها ) هو جريان شائى البعد وهو نفس الجريان في الاقنية المستطيلة المقطع والتي تملك عرضا لانهائيا .

### 4- قياس السرعة الوسطية :

- لحساب السرعة الوسطية في القناة نستخدم الطريقة التالية وهي تلك المأخوذة من " U.S. Geological Survey " وتتلخص فيما يلي :
- 1- تقسيم المقطع العرضي للقناة الى عدة خانة شاقولية
  - 2- أخذ محور كل خانة من هذه الخانات وقياس السرعة عليه في الاعماق التالية:  $0.2h$  و  $0.8h$  حيث  $h$  ارتفاع الماء عند هذا المحور .
- تعطى السرعة الوسطية المقرونة بهذه الخانة تعطى بالعلاقة:

$$U = [v(0.2h) + v(0.8h)] / 2$$

- 3- ان التدفق المقرون بكل خانة هو :  $q = U \cdot dA$  حيث  $dA$  هو مساحة تلك الخانة
- 4- التدفق الكلي المار بهذا المقطع هو:  $Q = \sum q$
- 5- السرعة الوسطية الكلية لذلك المقطع هي حاصل قسمة التدفق الكلي على المساحة الكلية لذلك المقطع .  
ان هذه الطريقة في قياس السرعة الوسطية تعطى قيما ذات دقة لا بأس بها حتى ولو كان سطح الماء مغطى بالثلوج .

### 5- معاملات توزيع السرع :

#### 1- معامل الطاقة < :

نتيجة لعدم انتظام مخطط توزيع السرع فان الطاقة  $(v^2 / (2g))$  لمقطع ما تكون أقل من القيمة الحقيقية لذلك المقطع .  
اذن فالقيمة الحقيقية لتلك الطاقة تعطى بعد ادخال عامل تصحيح < ب :

$$\langle v^2 / (2g) \rangle$$

حيث < هو معامل الطاقة أو معامل ( كيرولييس ) Coriolis coef. تخليدا لذكرى G. Coriolis أول من نوه باخذ هذا الثابت بعين الاعتبار التجارب أكدت أن قيمة < تتغير من 1.03 الى 1.36 للاقنية المستقيمة الموشورية الشكل على نحو ما .  
قيمة المعامل < كبيرة بالنسبة للاقنية الصغيرة و صغيرة بالنسبة للاقنية العريضة ذات الاعماق المعتبرة .

#### 2- معامل كمية الحركة $\beta$ :

أو معامل ( بوسينيسك ) Boussinesq Coef. ان كمية الحركة الحقيقية المارة من مقطع ما يعبر عنها كالتالي :

$$p \cdot (g) \cdot Q \cdot U/g$$

حيث :

- p: معامل كمية الحركة
- U: السرعة الوسطية للمقطع
- Q: التدفق
- g: تسارع الثقالة الارضية
- g: الكتلة الحجمية للماء

ان قيمة p تتغير في الاقنية شبه الموشورية المقطع والمستقيمة من 1.01 الى 1.12 .

6- تعيين قيم معاملات توزيع السرعة :

لتكن  $\Delta A$  هي مساحة عنصرية من المساحة الكلية A ولتكن  $W = \rho \cdot g$  هي وحدة وزن الماء ، ان الوزن الكلي المار من المقطع  $\Delta A$  في واحدة الزمن (  $t=1$  ) هو:  $W \cdot U \cdot \Delta A$  ، حيث U هي السرعة الوسطية للمقطع  $\Delta A$  .  
ان القدرة الحركية هي بالتعريف (  $1/2 \cdot M \cdot U^2$  ) حيث M هي الكتلة والتي يعبر عنها أيضا ب:  $M = W \cdot U \cdot \Delta A / g$  وبالتالي فالقدرة الحركية تكتب كما يلي:

$$(W \cdot U \cdot \Delta A / g) \cdot (U^2 / 2) = W \cdot \Delta A \cdot U^3 / (2 \cdot g)$$

والمجموع الكلي للقدرة الحركية لكامل المقطع A هو:

$$\sum [W \cdot U^3 \cdot \Delta A / (2 \cdot g)] \dots \dots \dots (1)$$

ان القدرة الحركية للمقطع A باعتبار السرعة الوسطية  $U_m$  وبداخل عامل التصحيح  $\epsilon$  تعطى بالعلاقة التالية :  $\epsilon \cdot W \cdot U_m^3 \cdot A / (2 \cdot g)$  ، بمساواة هذه العلاقة بالعلاقة (1) تكون قيمة  $\epsilon$  كما يلي :

$$\epsilon = \int (U^3 \cdot dA) / (U_m^3 \cdot A) \dots \dots \dots (2)$$

بنفس الطريقة نحسب معامل كمية الحركة p بالعلاقة التالية :

$$\beta = \int (U^2 \cdot dA) / (U_m^2 \cdot A) \dots \dots \dots (3)$$

إن قيمة كلا من العاملين  $\alpha$  و  $\beta$  تعطيان بشكل تقريبي بالعلاقتين :

$$\alpha = 1 + 3E^2 - 2E^3$$

$$\beta = 1 + E^2$$

حيث:  $E = (U_{max}/U_m) - 1$  ،  $U_m$  السرعة الوسطية ،  $U_{max}$  السرعة العظمى  
هاتان العلاقتان ياخذان بعين الاعتبار التوزيع اللوغاريتمي للسرع أما  
في حالة التوزيع الخطي للسرع فقد أعطى Rehbock العلاقتان التاليتان :

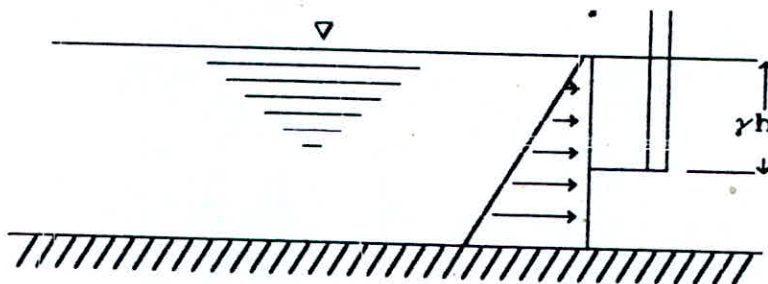
$$\alpha = 1 + E^2$$

$$\beta = 1 + E^2/2$$

تأخذ في المسائل العملية قيمتي  $\alpha$  و  $\beta$  مساويتان للواحد  
كقريب مقبول في حل هذه المسائل .

### 7- مخطط توزيع الضغط :

يقاس الضغط في أي نقطة من مقطع قناة بارتفاع الماء في أنبوب  
قياس الضغط الموضوع في تلك النقطة ، حيث نجد أن ارتفاع الماء في  
ذلك الأنبوب يصل إلى السطح الحر للماء مادام ميل القناة أقل من 10%  
وبالتالي يمكن اعتبار توزيع الضغوط في تلك الاقنية هو توزيع الضغط  
الساكن .



نعرف الجريانات المستقيمة المتوازية بالجريانات التي لها نفس  
الخاصية والتي لا يوجد فيها أي مركبات لتسارعات محتملة . لذا فإنه  
يمكن اعتبار الجريانات المتغيره تدريجيا جريانات متوازية لكون



تغيرات الاعماق في القناة أو الانحناءات التي يمثلها مسار القناة تنتج مركبات تسارعات مهملة داخل المقطع العرضي للقناة.

### 7-1) الجريانات المنحنية:

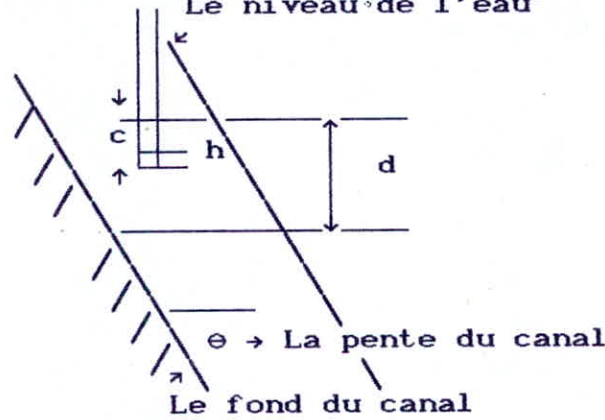
في حالة وجود إنحناءات معتبرة في مسار القناة فإنه تتشكل لدينا قوى طاردة مركزية تزيد في قيمة الضغط أو تنقص منه حسب اتجاه الانحناء في القناة. لذا فإنه لابد من ادخال معامل تصحيح لقيمة الضغط في هذه الانواع من الاقنية والذي نسميه اصطلاحا معامل الضغط  $\alpha_1$ . نستطيع أن نعبر عن المعامل  $\alpha_1$  بما يلي :

$$\alpha_1 = 1 / (Q \cdot Y) \int h \cdot v \cdot dA = 1 + 1 / (Q \cdot Y) \int C \cdot v \cdot dA$$

حيث  $C$  هو قيمة تصحيح الضغط الناتج من انحناء الجريان مع اعتبار أن  $n = n_s + C$  ( انظر الشكل ).  
إن القوة الطاردة المركزية والتي تسبب هذه الزيادة في الضغط يعبر عنها بـ :  $P = (W \cdot d / g) \cdot (V^2 / r)$  وبالتالي فإن قيمة  $C$  هي :

$$C = d \cdot V^2 / (g \cdot r)$$

حيث  $d$  هي : طول البصود النماتي العامودي على قاع القناة



### 7-2) تاثير ميلان قعر القناة على قيمة الضغط:

إن معامل الضغط هنا هو  $\cos^2 \theta$  حيث  $\theta$  هي زاوية ميل القناة وبالتالي فإن قيمة  $n$  تعطى بالعلاقة ( انظر الشكل ) :  $n = Y \cdot \cos^2 \theta$  ويكون معامل الضغط قريبا أو يساوي الواحد إذا لم تزد قيمة  $\theta$  عن

الدرجات ، أي أن الميل يجب أن لا يزيد عن 10%.

\*

## الفصل الثاني

\*

الجريان الحرج في الاقنية المكشوفة  
ذات المقطعين المستطيل والمثلثي الشكل

### 1- المعادلة العامة للجريان الحرج :

نعلم أن الطاقة النوعية لمقطع من الجريان يمكن أن تعطى  
بالعلاقة التالية:

$$H_s = Y + Q^2 / (2 \cdot g \cdot A^2)$$

من العلاقة السابقة يمكن استنتاج تغير التدفق بالنسبة لعمق  
الماء ومن أجل حمولة معينة  $H_s$  كما يلي :

$$Q = A \cdot \sqrt{[2 \cdot g \cdot (H_s - Y)]}$$

ينعدم التدفق  $Q$  من أجل  $Y = H_s$ ، ومن أجل  $A = 0$ ، أي من أجل  $Y = 0$ .  
لنشتق المعادلة السابقة فنجد :

$$dQ/dY = \{2 \cdot g \cdot (H_s - Y) \cdot (dA/dY) - A \cdot g\} / \{\sqrt{[2 \cdot g \cdot (H_s - Y)]}\}$$

ولكن نعلم أن  $dA = T \cdot dY$  حيث  $T$  هو عرض المقطع عند السطح  
الحر ، بالتعويض نجد (مع اعتبار أن  $D = A/T$ ) :

$$dQ/dY = g \cdot T \cdot \{2 \cdot (H_s - Y) - D\} / \{\sqrt{[2 \cdot g \cdot (H_s - Y)]}\}$$

إن إنعدام المشتق في العلاقة السابقة يحصل عندما تصبح قيمة  
التدفق هي قيمة التدفق الحرج والتي تساوي في هذه الحالة إلى :

$$dQ/dY = 0 \Rightarrow 2 \cdot (H_s - Y_c) - D_c = 0$$

$$\Rightarrow D_c = 2 \cdot (H_s - Y_c)$$

ويصبح التدفق أعظما عندما يكون عمق الماء مساويا للعمق الحرج ( $Y_c$ ) ويسمى هذا التدفق بالتدفق الحرج ويرمز له بـ  $Q_c$  من أجل الطاقة النوعية المعتبرة

$$Q_c = A_c \cdot \sqrt{[2 \cdot g \cdot (H_s - Y_c)]}$$

$$\Rightarrow Q_c = A_c \cdot \sqrt{(g \cdot D_c)}$$

والسرعة الحرجة في هذه الحالة هي  $U_c = Q_c / A_c = \sqrt{(g \cdot D_c)}$  : بتقسيم طرفي المعادلة على  $\sqrt{(g \cdot D_c)}$  ينتج أن :

$$U_c / \sqrt{(g \cdot D_c)} = 1 \dots \dots \dots (1)$$

إن العلاقة (1) هي التي تحدد الحالة التي يكون فيها التدفق حرجا تسمى الطرف الأيسر من العلاقة (1) بـ عدد فرود Froud Nbr.

## 2- مميزات الجريان الحرج :

نستطيع أن نجمل مميزات الجريان الحرج بما يلي :  
1- إن الطاقة النوعية في الجريان الحرج هي ذات قيمة دنيا من أجل تدفق معين :  
للبرهان على ذلك نأخذ العلاقة التالية :

$$H_s = Y + Q^2 / (2 \cdot g \cdot A^2)$$

إن هذا التابع له قيمة صغرى لـ  $H_s$  من أجل انعدام قيمة المشتق الأول بالنسبة لـ  $Y$  حيث :

$$dH_s/dY = 0 \Rightarrow 1 - [Q^2 / (g \cdot A^3)] \cdot (dA/dY) = 0$$

وبما أن  $da = T \cdot dy$  نستطيع أن نكتب :

$$1 - U^2 / (g \cdot D) = 0 \Rightarrow U^2 / (g \cdot D) = 1$$

- اذن من أجل القيمة التي ينعدم عندها المشتق لتابع القدرة النوعية يكون الجريان حرجا .
- 2- إن التدفق هو أعظمى من أجل قدرة نوعية معطاة (كما شاهدناه في المعادلة العامة للجريان الحرج ) .
  - 3- قيمة عدد فروود في هذا لجريان يساوى الواحد .
  - 4- القوة النوعية هي دنيا من أجل تدفق معين : للبرهان على هذا الامر ننطلق من علاقة تغير كمية الحركة حيث :

$$\rho \cdot Q \cdot (\beta_2 \cdot U_2 - \beta_1 \cdot U_1) = P_1 - P_2 + W \cdot \sin \theta - F$$

حيث :

- F : قوة الاحتكاك بين المقطعين (1-1) و (2-2) .
- P : قوة ضغط الماء .
- $\theta$  : زاوية ميل القناة .
- W : ثقل كتلة الماء بين المقطعين .
- $\rho$  : الكتلة الحجمية للماء .
- Q : التدفق .
- U : سرعة جريان الماء .
- $\beta$  : معامل كمية الحركة .

وإذا اعتبرنا أن الجريان أفنى أى أن ميل القناة مهمل يكون

$$\sin \theta = 0$$

وباعتبار قيمة قوة الاحتكاك F هي صغيرة جدا بحيث يمكن إهمالها ، وإذا اعتبرنا أن  $\beta_1 = \beta_2 = 1$  ، عندها تصبح معادلة كمية الحركة كما يلي :

$$\rho \cdot Q \cdot (U_2 - U_1) = P_1 - P_2 \dots \dots (1)$$

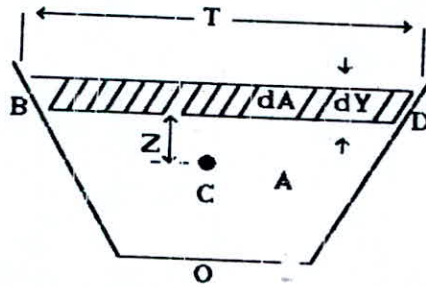
ولكننا نعلم أن قوة الضغط P تعطى بالعلاقة :  $\rho \cdot g \cdot Z \cdot A$  حيث Z هو بعد مركز ثقل المقطع A عن السطح الحر للماء ، بالتعويض ينتج أن :

$$Q^2 / (g \cdot A_1) + Z_1 \cdot A_1 = Q^2 / (g \cdot A_2) + Z_2 \cdot A_2$$

تسمى الحد :  $Q^2/(g.A) + Z.A$  بالقوة النوعية  $F$  لانه مجموع قوتين : قوة عزم الحركة لواحدة الاوزان للسائل في واحدة الزمن بالاضافة إلى قوة ضغط الماء لواحدة الاوزان .  
نشق هذا الحد بالنسبة ل  $Y$  فيعطينا العلاقة التالية :

$$dF/dY = -[Q^2/(g.A^2)] \cdot (dA/dY) + d(Z.A)/dY = 0 \dots (2)$$

للحصول على قيمة  $d(Z.A)$  نأخذ العزم الساكن للسائل بالنسبة للسطح الحركما يلى ( انظر الشكل ) :



إن مساحة المقطع BDO هي  $A$  ومركز ثقلها هو  $C$  وبتعد ذلك المركز عن السطح الحر هو  $Z$ .  
إن السطح BDO يتغير بقيمة  $dA$  الذى هو بدوره قيمة ناتجة عن تغير الارتفاع ب  $dY$ . إذن فمساحة السطح الجديد هي :  $A_1 = A + dA$ .  
لنبحث عن مركز ثقل هذا السطح بتطبيقنا لنظرية مركز الثقل :

$$X_c = [\sum F_i \cdot X_i] / \sum F_i \quad (\text{نأخذ العزوم حول السطح الجديد})$$

بحسب هذه العلاقة يعطى ترتيب مركز الثقل الجديد ب :

$$Z_1 = [A \cdot (Z+dY) + T \cdot dY^2/2] / (A+dA) \dots (3)$$

و بما أن  $dA = T \cdot dY$  يكون :

$$Z_1 \cdot (A+dA) = Z_1 \cdot A_1 = A(Z+dY) + T \cdot dY^2/2$$

ولكن :  $d(Z.A) = Z_1 \cdot A_1 - Z.A$  ، ومع إعتبار أن  $A_1 = A+dA$  ، وبأخذ العلاقة (3) بعين الاعتبار نجد :

$$d(Z.A) = A.(Z+dY) + T.dY^2/2 - Z.A$$

وبإهمالنا للحدود التي هي من الدرجة الثانية بالنسبة للتفاضل  $dY$  تصبح العلاقة كما يلي :

$$d(Z.A) = A.(Z + dY) - Z.A$$

نعوض هذه المعادلة بالعلاقة (2) فينتج :

$$dF/dY = -[(Q^2 . dA)/(g . A^2 . dY)] + (A.Z + A.dY - A.Z)/dY$$

$$\Rightarrow dF/dY = -[(Q^2 . dA)/(g . A^2 . dY)] + A$$

وباعتبار أن  $dA = T.dY$  و  $Q = U.A$  . بالتعويض والاصلاح ينتج :

$$U^2/(2.g) = D/2 \Rightarrow U^2/(g.D) = 1$$

وهذا هو شرط حدوث الجريان الحرج .  
اذن بهذا البرهان نكون قد أثبتنا أن القوة النوعية للسائل هي دنيا بحالة الجريان الحرج .

5- في الجريان الحرج يمكن إعتبار أن قيمة الحد  $U^2/(2.g)$  تساوى إلى  $D/2$  بالنسبة للاقتية القليلة الميل .

### 3- معامل المقطع للجريان الحرج (Z) :

رأينا أن تعريف معامل المقطع في الجريان الحرج هو  $Z = A \cdot \sqrt{D}$  .  
وباعتبار العلاقة :  $U^2/(g.D) = Q^2/(A^2 . g . D) = 1$

$$\Rightarrow Q^2/g = A^2 . D \Rightarrow Q/\sqrt{g} = Q . \sqrt{D}$$

$$\Rightarrow Z = Q/\sqrt{g}$$

إن المعامل  $z$  هو ذو قيمة عالية لمعرفة الجريان الحرج ، ففي حالة إعطاء  $Q$  نستطيع بواسطة الحصول على قيمة العمق الحرج  $Y_c$  ، أما في حالة إعطاء العمق الحرج  $Y_c$  فاننا نستطيع حساب التدفق الحرج  $Q_c$  .

إن قيمة  $z$  بالنسبة للقناة المستطيلة المقطع هي :  $z = b \cdot y^{1.5}$   
أما قيمة  $z$  للقناة مثلثية المقطع فهي :  $z = (\sqrt{2}/2) \cdot m \cdot y^{2.5}$

الجدول رقم (1) يبين قيمة  $z$  لبعض أشكال مقطع قنوات المياه .

#### 4- حساب الجريان الحرج :

إن حساب الجريان الحرج يتضمن النقطتين التاليتين :

- 1- حساب العمق الحرج .
  - 2- حساب السرعة الحرجة من أجل معرفة طبيعة الجريان .
- لحساب الجريان الحرج ، هناك عدة طرق يمكن إتباعها حسب المعلومات المتوفرة لدينا والامكانيات المتاحة بين أيدينا . نذكر من بين هذه الطرق ما يلي :

#### 1- الطريقة المباشرة :

حيث يتم تعويض قيمة  $z$  ب :  $Q/\sqrt{g}$  ، ومساواة هذه القيمة مع  $A \cdot \sqrt{D}$  وبما أن هذه القيمة هي تابع فقط للارتفاع  $Y$  فاننا نحسب قيمة الارتفاع الحرج بحل المعادلة الناتجة إما مباشرة أو بواسطة التقريب المتتالي حسب سهولة هذه المعادلة .

#### 2- الطريقة البيانية :

وهي طريقة مستعملة مع الاقنية الطبيعية بكثرة ، حيث يتم إنشاء منحنى بياني لـ  $z$  بتابعية إرتفاع الماء  $Y$  ، وتكون قيمة العمق الحرج  $Y_c$  هي القيمة التي من أجلها تكون  $z$  مساوية لـ  $Q/\sqrt{g}$  .



مثال :

أحسب الجريان الحرج لقناة ذات مقطع بشكل شبه منحرف إذا علمت أن التدفق  $Q$  يساوي إلى  $400 \text{ m}^3/\text{s}$  وأن عرض قاعدة القناة  $b$  هو  $20 \text{ m}$  وميل جوانبها  $m=2$ .

نقوم بحساب قيمة  $Z$  من العلاقة :  $Z = Q/\sqrt{g}$  وبمساواتها بالعلاقة  $Z = A.\sqrt{D}$  فنجد :

$$Z = Q/\sqrt{g} = 400 / \sqrt{9.81} = 127.71 \text{ [m}^{2.5}\text{]}$$

وبما أن :

$$Z = A.\sqrt{D} = [(b+m.y).y]^{1.5} / [\sqrt{(b+2.m.y)}]$$

$$\rightarrow y = 127.71 \{ (b+2.m.y) / [(b+m.y)^3] \}^{(1/3)}$$

بحل هذه المعادلة بواسطة التقريب المتتالي نستنتج أن قيمة  $y_c$  التي تحققها هي :  $3.087 \text{ m}$ .

بعد حساب العمق الحرج ، نحسب المقطع الحرج بالعلاقة :

$$A_c = (b+m.y_c).y_c = 80.8 \text{ m}^2$$

وبالتالي فإن السرعة الحرجة هي :  $U_c = Q/A_c = 4.95 \text{ m/s}$ .

5- مقارنة بين المقطعين المثلثي والمستطيل الشكل :

لكي نستطيع أن نقارن بين المقطعين المثلثي والمستطيل الشكل بشكل ملموس وواقعي نتطرق إلى المثال التالي :

أحسب العمق الحرج الذي نستطيع أن نصل إليه في حالة مقطعين لقناة: مثلثي و مستطيل الشكل ، علما بان التدفق هو  $Q=20 \text{ m}^3/\text{s}$

وأن كلفة عمليات الحفر لإنشاء القناة هو تابع لمساحة مقطع القناة  
وأن الشروط الطبوغرافية والجيولوجية للمكان لاتسمح بعمق أكثر من 2m.

الحل :

نفترض أن لدينا قناة مستطيلة الشكل ذات قاع يبلغ عرضه 4m وارتفاع  
، حسب الشروط الموضوعة للمكان، يبلغ 2m ، إن مساحة مقطع القناة هو:

$$A = 2.4 = 8m^2$$

بما أن كلفة الحفر هي تابع لمساحة المقطع ، فالتنا نفترض أن المقطع  
المثلثي الممكن إنشاؤه بنفس كلفة الحفر ذو مساحة:  $A1=8 m^2$   
و بما أن الشروط الموضوعة للمكان لاتسمح بأكثر من 2m لعمق القناة  
لذلك فالتنا نستطيع حساب عناصر الشكل الهندسي للمقطع المثلثي كما يلي

$$A1 = 8 m^2 \Rightarrow A1 = (1/2) \cdot b \cdot Y = (1/2) \cdot b \cdot 2 \Rightarrow b = 8 m$$

و بملاحظة بسيطة نستنتج أن ميل جدار القناة هو:  $m = 2$   
نقوم الآن بحساب العمق الحرج لكلا المقطعين فيكون :

$$Yc = [(Q/\sqrt{(2 \cdot g)})]^{(2.5)} \Rightarrow Yc = 1.8276 m \text{ - للقناة المثلثية:}$$

$$Yc = [(Q/(4 \cdot \sqrt{g}))]^{(1.5)} \Rightarrow Yc = 1.3659 m \text{ - للقناة المستطيلة:}$$

اذن نستطيع القول أن المقطع المستطيل الشكل هو لأكثر أمانا من  
ناحية خطر الوصول إلى الجريان تحت الحرج وبالتالي خطر حت جدران  
القناة ، إلا أن شبات جدران المقطع المستطيل هي أقل منه في حالة  
المقطع المثلثي ، لذا نفضل عادة هذا الأخير ( المقطع المثلثي ) عن  
المستطيل الشكل عند حدود معينة لميل محور القناة .

\*

### الفصل الثالث

\*

المقطعين المثلثي والمستطيل  
الشكل في التحليل الابعدي

#### 1- العمق النظامي للجريان :

نعلم أن الحالة التي يكون فيها عمق التيار مساويا للعمق  
النظامي هي الحالة :  $J_s = J_f$  ، حيث  $J_f$  هو ميل خط الطاقة المائي  
أما  $J_s$  فهو ميل محور القناة .  
إن أفضل علاقة معطاة للحصول على الميل  $J_f$  هي العلاقة المشهورة  
لـ ( مانينغ - ستركلر : Manning - Strickler ) :

$$J_f = \frac{v^2}{[K^2 \cdot R_h^{(4/3)}]} \dots \dots \dots (1)$$

حيث  $K$  تساوى إلى  $1/n$  في علاقة مانينغ .  $R_h$  هو المحيط المبلول .  
إن قيمة  $K$  أعطيت بناءا على ستركلر ب :

$$[K \cdot K_s^{(1/6)}] / (\sqrt{g}) = 8,2 \Rightarrow K = [8,2 \cdot \sqrt{g}] / [K_s^{(1/6)}]$$

( قيمة  $K$  لمختلف أنواع المواد المستعملة في بناء الاقنية يمكن  
أن تعطى من الجدول رقم 2 ) .  
 $K_s$  هي الخشونة المكافئة ، ونرمز لها أحيانا ب :  $\Delta$  .  
أعطى Hager في كتابه Construction Hydraulique شروط استخدام  
العلاقة (1) ب :

$$K_s > 30 \cdot \sqrt{[g^2 \cdot J_f^2 \cdot Q]^{(-1/5)}}$$

$$1E04 < R < 1E07$$

و :

R : عدد رينولدز ،  $\rho$  : اللزوجة الحركية .

هذه الشروط موضوعة للتأكد من أن منطقة الجريان هي منطقة الجريان الخشن ، وذلك لكون تلك العلاقة هي علاقة تجريبية موضوعة لتلك المنطقة من الجريانات .

نعود الآن للعلاقة (1) آخذين بعين الاعتبار أن  $Rh = A/P$  و  $U = Q/A$  عندها نستطيع أن نكتب العلاقة (1) على الشكل التالي :

$$Jf = [Q^2 \cdot P^{(4/3)}] / [K^2 \cdot A^{(10/3)}] \dots\dots (2)$$

للموصول بهذه العلاقة إلى علاقة لابعدية نفترض أن  $A = a^2 \cdot A_0$  و  $P = a \cdot P_0$  حيث  $a$  هو طول مرجعي للقناة ، يمكن أن يكون  $b$  : عرض قاعدة القناة ، أو أن يكون  $B$  : عرض السطح الحر لمقطع القناة ، أو أي طول مرجعي آخر يمكن أخذه بعين الاعتبار .  
بعد إصلاح العلاقة (2) بإدخال هذا المفهوم الابعدي ، وإعتبار أن  $J_s = J_f$  ، نستطيع أن نكتب :

$$Q / [K \cdot J_s^{(1/2)} \cdot a^{(8/3)}] = [A_0^{(5)} / P_0^2]^{(1/3)}$$

نعتبر أن القيمة الابعدية  $Q / [K \cdot J_s^{(1/2)} \cdot a^{(8/3)}]$  تساوي اصطلاحاً للقيمة  $q_n$  ، عندها تصبح العلاقة السابقة كما يلي :

$$q_n = [A_0^{(5)} / P_0^2]^{(1/3)} \dots\dots (3)$$

هذه العلاقة هي العلاقة المرجعية الابعدية لتحديد العمق النظامي للجريان في قناة .

2- القناة المستطيلة الشكل في التحليل الابعدي :

1- العمق النظامي :

نعلم أن مساحة المقطع المستطيل هي  $A = b \cdot h$  ، وأن المحيط المبلول  $P = 2 \cdot h + b$  ، وباعتبار  $a = b$  نستطيع أن نكتب :

$$a=b$$

$$A = A_0 a^2 \quad A_0 a^2 = bh \quad A_0 = \frac{bh - 21 - h}{a} = \frac{h}{b}$$

$$A = bh$$

$$A = b \cdot h \Rightarrow A_0 = h$$

$$P = 2 \cdot h + b \Rightarrow P_0 = 1 + 2 \cdot h/b$$

وإذا اعتبرنا أن  $h/b = hn$  هو عدد لا بعدى ، تصبح العلاقة (3) كما يلي :

$$Q_n = [hn^5 / (1 + 2 \cdot hn)^2]^{(1/3)}$$

نقوم بإنشاء منحنى لـ  $Q_n = f(hn)$  لتحديد قيمة  $hn$  المقابلة لكل  $Q_n$  من أجل إيجاد العمق النظامي المطلوب حسابه كما يبينه المنحنى المرافق .

2- الطاقة النوعية (E) والقوة النوعية (F) :

- تعطى الطاقة النوعية لمقطع من قناة ب :

$$E = h + Q^2 / (A^2 \cdot 2 \cdot g)$$

وإذا افترضنا أن  $A_0 = A/b^2$  ،  $h_0 = h/b$  ،  $E_0 = E/b$  ،  $Q_0 = Q/b^2 = (h \cdot b) / b^2 = h/b = h_0$  ، يكون :

$$E_0 = h_0 + Q^2 / (b^5 \cdot h_0^2 \cdot 2 \cdot g)$$

$$A_0 = h_0$$

$$\Rightarrow E_0 = h_0 + Q_0 / (2 \cdot h_0^2) \quad \dots (1)$$

مع إعتبار أن  $Q_0 = Q^2 / (b^5 \cdot g)$  :

- تعطى القوة النوعية F لمقطع من قناة ب :

$$F = Q^2 / (g \cdot A) + Z \cdot A$$

حيث Z هو بعد مركز ثقل المقطع A عن السطح الحر للمقطع . لكي نرد هذه العلاقة إلى علاقة لا بعدية نقسم طرفيها على  $b^3$  ، نعلم أيضا أنه في حالة القناة المستطيلة الشكل لدينا :  $A = b \cdot h$  ،  $Z = h/2$  ، بالتعويض في علاقة القوة النوعية وإصلاح الناتج تكون لدينا العلاقة

التالية - مع إعتبار  $Q_0 = Q^2 / (g \cdot b^5)$  ،  $h_0 = h/b$  ،  $F_0 = F/b^3$  :

$$F_0 = Q_0/h_0 + 0,5 \cdot h_0^2 \dots\dots(2)$$

باصلاح العلاقتين (1) و (2) نستطيع أن نستنتج العلاقة التالية والتي تربط بين  $F_0$  و  $E_0$  :

$$E_0 = (3/4) \cdot h_0 + F_0/(2 \cdot h_0) \dots\dots(3)$$

### 3- العمق الحرج :

لكي نحصل على العمق الحرج نشتق العلاقة (1) ، ثم نساوي هذا المشتق بالصفر فيكون :

$$dE_0/dh_0 = 1 - Q_0/h_0^3 \Rightarrow 1 - Q_0/h_0^3 = 0 \Rightarrow h_0^3 = Q_0$$

$$\Rightarrow h_0 = Q_0^{(1/3)} \dots\dots(4)$$

مع إعتبار  $h_0 = h/b$  و  $Q_0 = Q^2 / (g \cdot b^5)$

### 3- القناة المثلثية الشكل في التحليل اللاحدى :

#### 1- العمق النظامى :

لدينا :

$$A = 0,5 \cdot b \cdot h \Rightarrow A_0 = A/b^2 = h/(2 \cdot b) = h_n/2$$

ولدينا أيضا من أجل القناة المثلثية :

$$P^2 = b^2/2 + 2 \cdot h^2 \Rightarrow P_0 = (1/2) + (2 \cdot h^2/b^2) = 1/2 + 2 \cdot h_n^2$$

نعوض  $P_0$  و  $A_0$  بعلاقة العمق النظامي :

$$q_n = (A_0^5 / P_0^2)^{(1/3)}$$

فيكون عندها :

$$q_n = [(h_n/2)^5 / (0,5 + 2 \cdot h_n^2)]^{(1/3)}$$

نستطيع أن نرسم  $q_n$  كتابع لـ  $h_n$  لمعرفة العمق النظامي من أجل أي قيمة لـ  $q_n$  ، كما يبينه المنحنى المرافق .

2- الطاقة النوعية (E) والقوة النوعية (F) :

- تعطى الطاقة النوعية لمقطع من قناة ب :

$$E = h + Q^2 / (A^2 \cdot 2 \cdot g)$$

في حالة القناة المثلثية لدينا :  $A_0 = h_0/2$  ،  $A = 0,5 \cdot b \cdot h \rightarrow$  بعد التعويض والإصلاح نستنتج :

$$E_0 = h_0 + 2 \cdot (Q_0 / h_0^2) \dots \dots (1)$$

حيث :  $Q_0 = Q^2 / (b^5 \cdot g)$  و  $h_0 = h/b$

- تعطى القوة النوعية F لمقطع من قناة ب :

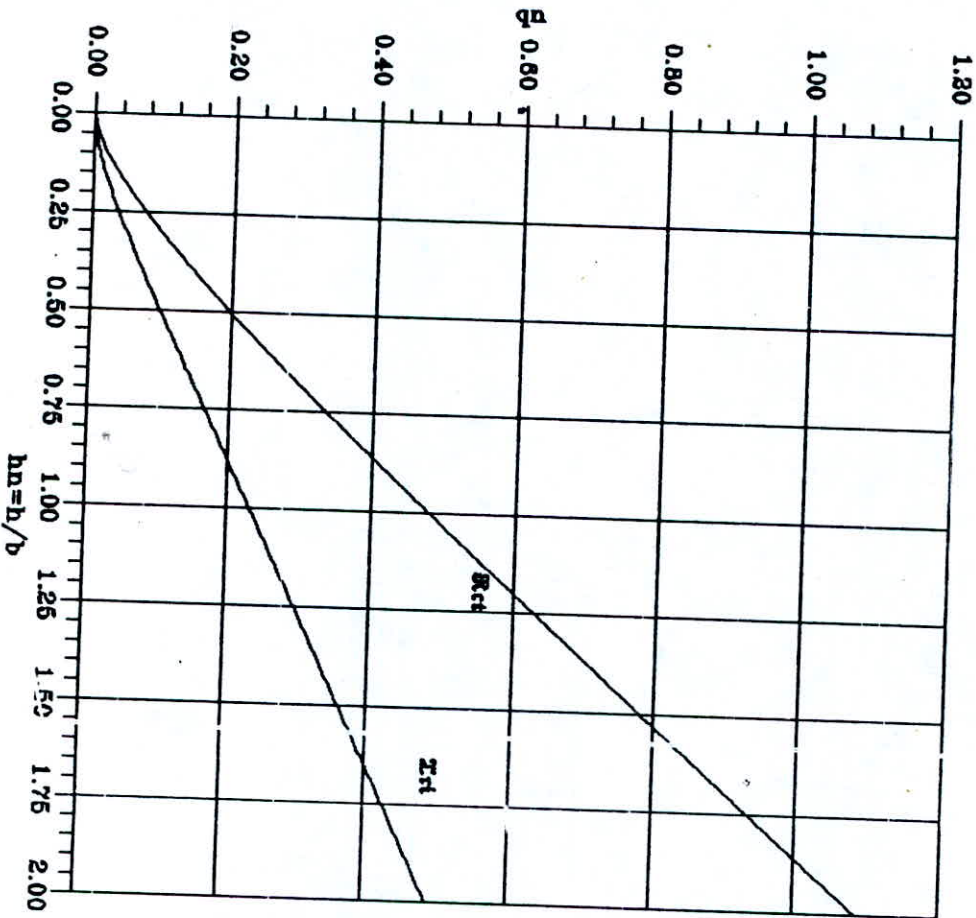
$$F = Q^2 / (g \cdot A) + Z \cdot A$$

حيث Z هو بعد مركز ثقل المقطع A عن السطح الحر للمقطع .

لكي نرد هذه العلاقة إلى علاقة لابعديه نقسم طرفيها على  $b^3$  ، نعلم أيضا أنه في حالة القناة المثلثية الشكل لدينا :  $Z = h/3$  ،  $A = 0,5 \cdot b \cdot h$  ، بالتعويض في علاقة القوة النوعية وإصلاح الناتج تكون لدينا العلاقة التالية - مع إعتبار  $(Q_0 = Q^2 / (g \cdot b^5))$  ،  $h_0 = h/b$  ،  $F_0 = F/b^3$  :

$$F_0 = 2 \cdot Q_0 / h_0 + (1/6) \cdot h_0^2 \dots \dots (2)$$

Graphique donnant  $q_n$  en fonction de  $h_n$   
pour les deux sections rect.  
et triangulaire





بإمكاننا أن نوجد علاقة بين  $E_o$  و  $F_o$  فنجد بعد الإصلاح :

$$E_o = F_o/h_o + (5/6).h_o \dots\dots(3)$$

### 3- العمق الحرج :

لكي نحصل على العمق الحرج نشتق العلاقة (1) ، ثم نساوي هذا المشتق بالمفر فيكون :

$$dE_o/dh_o = 1 - 4.Q_o/h_o^3 \Rightarrow 1 - 4.Q_o/h_o^3 = 0 \Rightarrow h_o^3 = 4Q_o$$

$$\Rightarrow h_o = (4.Q_o)^{1/3} \dots\dots(4)$$

### 4- مقارنة بين المقطعين في التحليل اللابعدى :

#### 1- حالة تساوى الطاقة النوعية في المقطعين :

نرمز من الآن فصاعدا للحرف  $x$  للقناة المستطيلة الشكل وبالحرف  $t$  للقناة مثلثية الشكل .  
نعلم أن الطاقة النوعية اللا<sup>ب</sup> بعدية في حالة المنقطع المستطيل والمثلثي الشكل تعطى على التوالي بالعلاقتين التاليتين :

$$E_{ox} = h_{ox} + Q_{ox}/(2.h_{ox}^2)$$

$$E_{ot} = h_{ot} + 2.Q_{ot}/h_{ot}^2$$

يعطى عدد فروود عادة بالعلاقة التالية :

$$F = V/\sqrt{(g.D)} \Rightarrow F^2 = Q^2/(A^2.g.D)$$

حيث  $D=A/T$

- تعطى  $D$  في حالة المنقطع المستطيل الشكل ب :  $D = h$  ، عندها يصبح عدد فروود كما يلي :

$$Fr^2 = Q^2 / (b^2 \cdot h^2 \cdot g \cdot h) \Rightarrow Fr^2 = Q_{or}^2 / h_{or}^3$$

$$\Rightarrow Q_{or}^2 = Fr^2 \cdot h_{or}^3 \dots \dots \dots (1)$$

عزنا سابقا كلا من  $h_{or}$  و  $Q_{or}$  - تعطى  $D$  فى حالة المقطع المثلثى الشكل ب :  $D = 0,5 \cdot h$  ، عندها يصبح عدد فروود كما يلى :

$$Ft^2 = Q^2 / (0,25 \cdot b^2 \cdot h^2 \cdot g \cdot 0,5 \cdot h) \Rightarrow Ft^2 = 6 \cdot Q_{ot}^2 / h_{ot}^3$$

$$\Rightarrow Q_{ot} = (Ft^2 \cdot h_{ot}^3) / 6 \dots \dots \dots (2)$$

فاذا عوضنا كلا من  $Q_{or}$  و  $Q_{ot}$  فى علاقتي  $E_{or}$  و  $E_{ot}$  يكون لدينا :

$$E_{or} = h_{or} \cdot (1 + Fr^2 / 2)$$

$$E_{ot} = h_{ot} \cdot (1 + Ft^2 / 3)$$

فى حالة :  $E_{or} = E_{ot}$  يكون :

$$h_{or} = h_{ot} \cdot [(1 + Ft^2 / 3) / (1 + Fr^2 / 2)] \dots \dots \dots (3)$$

- العلاقة (3) هى العلاقة التى تربط بين الارتفاعين اللابعيين  $h_{or}$  و  $h_{ot}$  بدلالة عددي فروود فى كلا المقطعين .

2- حالة تساوى عددي فروود ( $Fr = Ft$ ) :

فى هذه الحالة لدينا :  $Fr^2 = Q_{or} / h_{or}^3$  ،  $Ft^2 = 6 \cdot Q_{ot} / h_{ot}^3$  عندها نستطيع أن نوجد علاقة بين  $h_{or}$  و  $h_{ot}$  بدلالة  $Q_{or}$  و  $Q_{ot}$  كما يلى :

$$h_{or} = h_{ot} \cdot [Q_{or} / (6 \cdot Q_{ot})]^{(1/3)}$$

3- حالة تساوى القوة النوعية فى المقطعين :

في هذه الحالة نعبر عن القوتين النوعيتين بشكل لابعدي كما يلي :

$$F_{or} = q_{or}/h_{or} + (1/2) \cdot h_{or}^2$$

$$F_{ot} = 2 \cdot q_{ot}/h_{ot} + (1/6) \cdot h_{ot}^2$$

وإذا عوضنا كلا من  $q_{or}$  و  $q_{ot}$  بما يساويهما بدلالة فروود نتحصل عندها على العلاقتين التاليتين :

$$F_{ot} = (1/6) \cdot h_{ot}^2 \cdot (1 + 2 \cdot F_{t^2})$$

$$F_{or} = (1/2) \cdot h_{or}^2 \cdot (1 + 2 \cdot F_{r^2})$$

و بمساواة القوتين النوعيتين بكلا المقطعين نستنتج العلاقة التالية :

$$h_{or} = h_{ot} \cdot \left\{ \frac{(2/6) \cdot (1 + 2 \cdot F_{t^2})}{(1 + 2 \cdot F_{r^2})} \right\}^{(1/2)}$$

\*

## الفصل الرابع

\*

### القفزة المائية

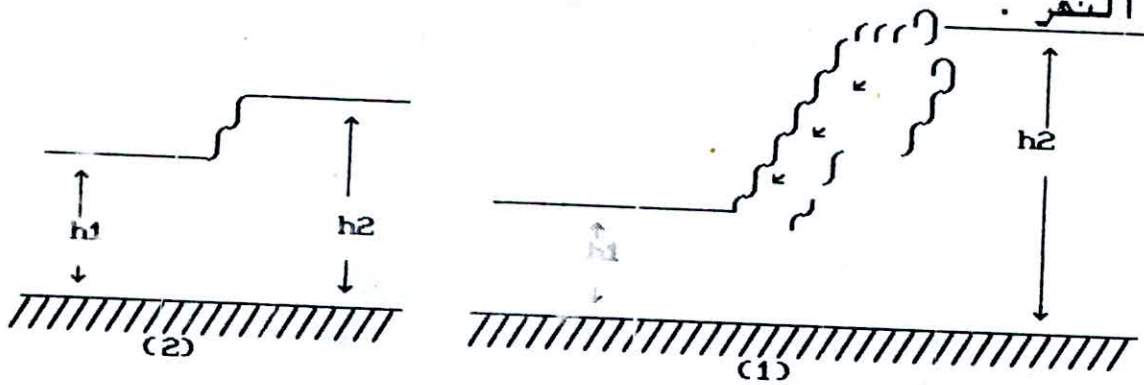
#### 1- تعريف :

القفزة المائية هي حادثة التغير السريع للجريان ، وتحدث عندما يتحول الجريان الشلالي ذو السرعة الكبيرة والعمق الصغير فجأة إلى جريان نهري ذو سرعة بطيئة وعمق أكبر ، وتتألف القفزة من منطقة التحول التي تفصل هذين النظامين الذين تختلف أعماق الماء فيهما بين طرفي العمق الحرج ، ويصحب القفزة هيجان ودوامات مستمرة من الماء على السطح .  
يقال عن القفزة أنها موضعية عندما تكون ثابتة بالنسبة لأطراف القناة ولا تختلف المعادلات التي تطبق عليها إذا ربطنا محاور المقارنة بالقفزة نفسها .  
ستمكننا الطريقة العامة للدراسة التي سنتبعها ، بإظهار القفزة بشكل واضح وأسباب وجودها هو عدم توافق الشروط الخلفية التي تفرض جريانا شلاليا والشروط الامامية التي تفرض جريانا نهريا . وفي دراسة القفزة سنقتصر على القناة الافقية أو التي ميلها ضعيف .

#### 2- وصف القفزة :

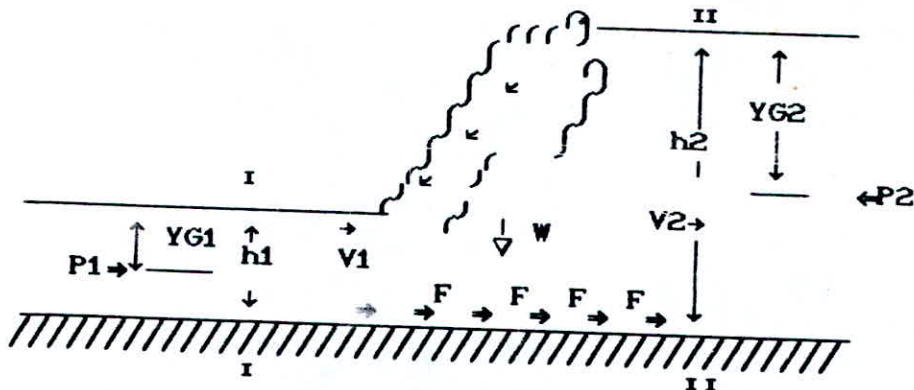
يبين الشكلان (1) و (2) منظر القفزة من أجل ارتفاع كبير أو ارتفاع صغير لها ، في الحالة الاولى تتضاءل السرعة على طول القفزة ويزيد عمق الماء محدثا اضطرابا شديدا ، يظهر على السطح كأن الماء يرجع إلى الوراء، وتحدث دوامة أو عدة دوامات غير مستقرة و غير منتظمة وتمتلئ كتلة الماء القريبة من السطح

بفقاعات صغيرة .  
 وفي الحالة الثانية نلاحظ فقط تموجات تتخامد بعيدا إلى  
 الامام كما يحدث في مجارى الانهار الطبيعية بسبب إستظام سرير  
 النهر .



### 3- المعادلة العامة للقفزة :

يعتمد استنتاج معادلة القفزة على مبدأ إنحفاظ كمية الحركة  
 حيث أن تغير التدفق في كمية الحركة يساوى إلى مجموع القوى  
 الخارجية المؤثرة على الكتلة المائية .  
 فإذا أهملنا قوى الاحتكاك بالنسبة لبقية القوى وذلك لكون  
 طول الكتلة المائية مهملا ، وإذا افترضنا أن ميل القناة ضعيف  
 وذلك يسنى أن المسقط الافقى لكتلة الماء يقترب من الصفر ،  
 تكون القوى الخارجية المؤثرة على المقطعين (1-1) و (2-2) هي  
 قوى ضغط الماء فقط ، مع إفتراض أن توزيع الضغط في المقاطع هو  
 توزيع الضغط الساكن



بالاعتماد على الشكل أعلاه نستطيع أن نكتب :

$[(U_2 \cdot A_2 \cdot \rho) \cdot U_2] - [(U_1 \cdot A_1 \cdot \rho) \cdot U_1] = \rho \cdot g \cdot YG_1 \cdot A_1 - \rho \cdot g \cdot YG_2 \cdot A_2$   
بعد الاصلاح وإعتبار أن  $Q = A_1 \cdot U_1 = A_2 \cdot U_2$  نستطيع أن نكتب :

$$(Q^2/g) \cdot (1/A_1 - 1/A_2) = A_2 \cdot YG_2 - A_1 \cdot YG_1 \dots (1)$$

وهي المعادلة العامة للقفزة .

4- القفزة في الاقنية ذات المقطع المستطيل :

1- العلاقات الاساسية - معادلة القفزة :

إنطلاقا من المعادلة العامة للقفزة وباعتبار أن  $YG = Y/2$  و  $A = L \cdot Y$  ، نستطيع بعد التعويض بالمعادلة العامة للقفزة أن نكتب :

$$\rho \cdot Y_2 \cdot L \cdot U_2^2 - \rho \cdot Y_1 \cdot L \cdot U_1^2 = \rho \cdot g \cdot L \cdot Y_1^2 / 2 - \rho \cdot g \cdot L \cdot Y_2^2 / 2$$

$$\Rightarrow Y_2 \cdot U_2^2 - Y_1 \cdot U_1^2 = g \cdot (Y_1^2 - Y_2^2) / 2 \dots (2)$$

نستطيع الان أن نحسب قيمة السرعتين  $U_1$  و  $U_2$  بعد الاستعانة بمعادلة الاستمرار والتي تعطى :  $U_1 \cdot Y_1 = U_2 \cdot Y_2$  ، والتعويض بالمعادلة (2) .

$$U_1 = \sqrt{(g \cdot Y_1) \cdot \sqrt{[(1/2) \cdot (Y_2/Y_1) \cdot (1+Y_2/Y_1)]}} \dots (3)$$

$$U_2 = \sqrt{(g \cdot Y_2) \cdot \sqrt{[(1/2) \cdot (Y_1/Y_2) \cdot (1+Y_1/Y_2)]}} \dots (4)$$

إذا إعتبرنا أن  $Y = Y_2/Y_1$  هو عدد لابعدى فمن المعادلة (3) يكون :

$$2 \cdot F_1^2 = Y \cdot (1+Y) \Rightarrow Y^2 + Y - 2 \cdot F_1^2 = 0$$

لحل هذه المعادلة نحسب المميز  $\Delta$  فيكون :

$$\Delta = 1 + 8 \cdot F_1^2$$

$$Y' = (-1 - \sqrt{\Delta})/2 \quad \text{مرفوض لكونه سالب}$$

→

$$Y'' = (-1 + \sqrt{\Delta})/2 \quad \text{مقبول}$$

$$\Rightarrow 2.Y = \sqrt{(1+8.F_1^2)} - 1 \quad \dots\dots(5)$$

المعادلة (5) تعطي العلاقة بين الاعماق المترافقة بدلالة عدد فرود في الجريان الشلالي .

## 2- مردودية القفزة :

يمكن تعريفها بأنها نسبة  $\Delta H$  إلى  $H_1$  .

$$\eta = \Delta H/H_1$$

حيث :

$\Delta H$  : هي فقدان الطاقة بسبب القفزة المائية

$H_1$  : هي الطاقة الكلية عند بداية القفزة .

ولكن في حالة القناة المستطيلة الشكل لدى :

$$\Delta H = Y_1 + U_1^2 / (2.g) - Y_2 + U_2^2 / (2.g)$$

$$H_1 = Y_1 + U_1^2 / 2.g$$

بعد الاصلاح وإعتبار أن :  $F_1^2 = U_1^2 / (g.Y_1)$  ، نستنتج :

$$\eta_r = [(1+(1/2).F_1^2).(1-1/Y^2) - Y] / (1+F_1^2/2) \quad \dots(6)$$

باعتبار  $Y$  هي النسبة اللاحدية  $Y_2/Y_1$  ، وبما أن  $Y$  حسب العلاقة (5) هي تابع فقط لـ  $F_1$  ، نستنتج من ذلك أن المردودية

هي تابع فقط لعدد فرود  $F_1$  .  
لقد أعطى Hager علاقة تقريبية لتلك المرودية من أجل قيم  $F_1$   
أكبر من 2.5 كما يلي :

$$\eta_r = (1/2) \cdot (1 - \sqrt{2/F_1})^2$$

5- القفزة في الاقنية ذات المقطع المثلثي :

1- العلاقات الاساسية - معادلة القفزة :

إنطلاقاً من المعادلة العامة للقفزة وباعتبار أن  $YG = Y/3$  و  $A = m \cdot Y^2$  ، نستطيع بعد التعويض بالمعادلة العامة للقفزة أن  
نكتب :

$$\rho \cdot Y_2^2 \cdot m \cdot U_2^2 - \rho \cdot Y_1^2 \cdot m \cdot U_1^2 = \rho \cdot g \cdot m \cdot Y_1^3 / 3 - \rho \cdot g \cdot m \cdot Y_2^3 / 3$$

$$\Rightarrow Y_2^2 \cdot U_2^2 - Y_1^2 \cdot U_1^2 = g \cdot (Y_1^3 - Y_2^3) / 3 \dots (7)$$

نستطيع الآن أن نحسب قيمة السرعة  $U_1$  بعد الاستعانة  
بمعادلة الاستمرار والتي تعطى :  $U_1 \cdot Y_1^2 = U_2 \cdot Y_2^2$  ، وبالتعويض  
بالمعادلة (7) .

$$U_1^2 \cdot (Y_1^4 / Y_2^2 - Y_1^2) = g \cdot (Y_1^3 - Y_2^3) / 3$$

نضرب طرفي هذه العلاقة بـ :  $2 / (g \cdot Y_1^3)$  ، وبملاحظة أن  $F_1^2$  هو  
القيمة :  $2 \cdot U_1^2 / (g \cdot Y_1)$  ، يكون :

$$F_1^2 - F_1^2 \cdot Y_2^2 / Y_1^2 = (2/3) \cdot Y_2^2 / Y_1^2 \cdot (-Y_2^3 / Y_1^3 + 1)$$

وباعتبار أن  $Y_2 / Y_1$  يساوي إلى  $\lambda$  وهو عدد لا بعدى ، نستنتج :

$$(-2/3) \cdot \lambda^5 + \lambda^2 \cdot (F_1^2 + 2/3) - F_1^2 = 0 \dots (8)$$

أحد حلول المعادلة (8) هو :  $\lambda = 1$  ، اذن فبعد التقسيم على  
 $(\lambda - 1)$  ومن أجل إيجاد علاقة مباشرة بين  $F_1$  و  $\lambda$  ، قمنا بالتعويض  
من أجل قيم متعددة لـ  $F_1$  وبواسطة التقريب المتتالي حصلنا على



قيم ل  $y$  كما يلي :

$F_1$	$Y$	$F_1$	$Y$
1.1	1.0787145	5	3.2709089
1.2	1.1550343	6	3.7103047
1.3	1.2291944	7	4.1248159
1.4	1.301396	8	4.5192519
1.5	1.3718120	9	4.8970052
1.7	1.5078679	10	5.2605796
2	1.7017428	15	6.9205520
2.3	1.8854809	20	8.3990106
2.5	2.0032279	25	9.7562774
3	2.2837977	30	11.024443
3.5	2.5481353	35	12.223143
4	2.7993799	40	13.365495
4.5	3.0397562		

وباجراء تقريب معقول تحصلنا على المعادلة التالية والتي تربط  $F_1$  ب  $Y$  بمعامل ارتباط قدره 0.999 ، والمعادلة التي اخترناها هي من الشكل :  $Y = a \cdot X^{(b)}$  ، حيث أن علاقة  $F_1$  ب  $Y$  هي علاقة قوة :

$$Y = 1,0447 \cdot F_1^{(0,69755)} \dots (9)$$

هذه المعادلة تعطي قيما بدقة 3% تقريبا ، وهو تقريب معقول ومسموح به ، إذا كانت قيم  $F_1$  لا تتجاوز الـ 40 .

2- مردودية القفزة :

عرّفناها بانها النسبة :

$$\eta_t = \Delta H / H_1$$

باجراء مشابه للمقطع المستطيل نتحصل على :

$$\eta_t = [1 + (1/4) \cdot F_1^2 \cdot (1 - 1/Y^4) - Y] / [1 + (1/4) \cdot F_1^2] \dots (10)$$

حيث  $Y$  هي دائما العدد اللابعدى  $Y_2/Y_1$  ، ولكن نعلم حسب العلاقة (9) بان  $Y$  هو ذو علاقة وحيدة لـ  $F_1$  ، وبالتالي فان  $\eta_t$  هي تابع وحيد لـ  $F_1$  .  
 أعطى أيضا Hager علاقة للمردودية فى المقطع المثلثى من أجل  $F_1$  أكبر من 2.5 :

$$\eta_t = [1 - (12/F_1^4)^{(1/3)}]^2$$

نرسم الان الخط البيانى لكلا المردوديتين فى المقطع المثلثى والمستطيل الشكل بتابعة  $F_1$  (أنظر الشكل) .  
 نرى من هذا البيان أن مردودية المقطع المثلثى هي أعلى من المقطع المستطيل الشكل ، ويصل ذلك الفرق فى بعض الاحيان حتى الـ 15% ، وذلك يعنى أن المقطع المثلثى الشكل هو المفضل من أجل انجاز ضياعات فى الطاقة معتبرة بحالة القفزة المائية.

#### 6- موضع القفزة المائية :

نعلم أن المعادلة العامة للقفزة يمكن أن تعطى ب :

$$(Q^2/g) \cdot (1/A_1 - 1/A_2) = A_2 \cdot YG_2 - A_1 \cdot YG_1$$

من الممكن كتابة هذه المعادلة على الشكل :

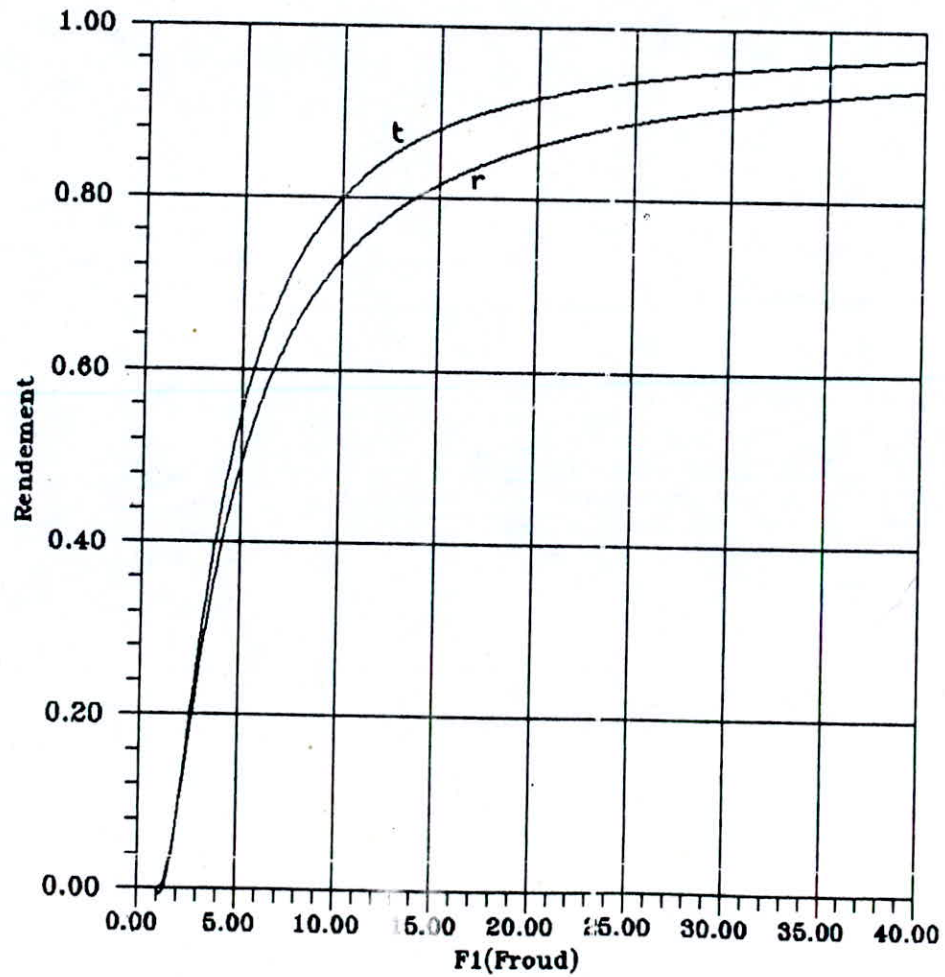
$$(Q^2/g) \cdot (1/A_1) + A_1 \cdot YG_1 = (Q^2/g) \cdot (1/A_2) + A_2 \cdot YG_2$$

عزفنا فى الفصل السابق الحد :  $Q^2/(g \cdot A) + A \cdot YG$  بالقوة

النوعية  $F$  ، ونحن إذا مثلنا الخط البيانى لتلك القوة نجد أن له نهاية صفرى تمثل العمق الحرج ، وأن له فرعين يعطى قيمتين لـ  $Y$  ( عمق الماء ) من أجل قيمة وحيدة لـ  $F$  ، نسمى هاتين القيمتين بالعمقين المترافقين للقفزة المائية .

من هنا نقول بان موضع القفزة المائية يكون في المقطع من  
القناة الذي من أجله تتساوى قيمة القوة النوعية  $F$  من على  
يمين و يسار ذلك المقطع .

Le Rendement de ressaut hydraulique  
Dans les canal Triangulaire  
et Rectangulaire en  
Fonction de F1



\*

## الفصل الخامس

\*

### الجريانات المتغيرة تدريجيا المنحنيات الراجية

#### 1- مبادئ أولية:

سوف لانبحث في هذه الدراسة سوى الجريانات المتغيرة تدريجيا  
أي التي تختلف فيها مختلف العوامل بصورة مستمرة تدريجيا و  
ببطء بحيث أن :

1- شكل وأبعاد مختلف مقاطع القناة وميل قعرها ، تتغير  
بصورة منتظمة و بطيئة ، وكذلك انحناءات الجدران .

2- تغير عمق الماء يكون بطيئا وميل إنتناء الخط المائي  
يكون ضئيلا أيضا .

3- من الشرطين أعلاه ، يمكن إعتبار أن القدرة الضائعة  
الوحيدة هي الناتجة عن الاحتكاك .

في هذه الحالة تعطى معادلة الطاقة الموضعية الكلية للتيار  
المائي ذو السطح الحر ب :

$$H = Z + h + Q^2 / (2.g.A^2) \dots\dots(1)$$

نرى أن المقطع المائي A هو قيمة تابعة لكلا من x و h ، أي  
لموقع ذلك المقطع ( فاصلته ) ، وعمق الماء فيه ، أي أن :

$$A = f(x, h)$$

بينما نرى أن قيمة z تابعة فقط لـ x :  $z = f(x)$  ، وكذلك  
التدفق :  $Q = f(x)$  .

بالنظر إلى أن طبيعة الجريان هي متغيرة بانتظام فذلك يعنى  
من الناحية الرياضية أن المشتق الثاني لـ z بالنسبة لـ x هو

قيمة تنتهي إلى الصفر:  $d^2z/dx^2 = 0$  ، وكذلك الامر بالنسبة إلى بقية المشتقات التابعة لـ  $x$  :

$$d^2Q/dx^2 = d^2A/dx^2 = \dots = 0$$

إن الحالة التي سوف ندرسها فيما يلي هي حالة جريان ذو غزارة ثابتة من أجل جميع المقاطع والتي تتلخص في ماهية طبيعة تطور السطح الحر لذلك الجريان بمعرفة عامل واحد هو إرتفاع الماء في بداية أو نهاية ذلك الجريان .

من أجل تبسيط تلك الدراسة نفرض الحالة المبسطة التالية:

1- جميع عوامل الجريان السابقة هي قيم متغيرة وتابعة لمتغير واحد هو  $x$  - جريان وحيد الاتجاه -

2- إن توزيع الضغط داخل الجريان هو توزيع الضغط الساكن

3- مخطط السرعة داخل الجريان هو المخطط المتغير بانتظام

4- محور قناة الجريان يمثل إنحناء خفيفا

5- ميل القناة الاعظمى لا يتجاوز الـ 10%

6- سائل الجريان متجانس وغير قابل للانضغاط

إن التغير في قيمة الضاغط  $H$  أو الطاقة الكلية  $H$  ، من أجل

الجريانات المتغيرة بانتظام ، هو ناتج فقط عن فقدان الطاقة

المتعلق بدوره بالاحتكاك بجدران القناة ، هذا التغير في قيمة  $H$

عبر عنه ما نتج وستكرر ، من أجل منطقة الجريانات الدورانية

والخشنة - حاسة دراستنا - بالعلاقة التالية:

$$-dH/dx = Jf = U^2 / [K^2 \cdot Rh^{(4/3)}] \dots (2)$$

$K$ : معامل ستكلر - يتعلق بخشونة القناة -

$Rh$ : نصف القطر المائي

$A$ : مساحة المقطع المائي

$P$ : المحيط المبلول

$U$ : السرعة

بما أن جميع هذه العوامل ذات علاقة وحيدة لـ  $x$  إذن فإن ميل

خط الطاقة  $Jf$  هو أيضا تابع لـ  $x$  فقط .

2- المعادلة العامة :

نستطيع الان أن نجد معادلة السطح الحر للجريان المتغير بانتظام وذلك باشتقاقنا للمعادلة (1) والتعويض بها في المعادلة (2) داخل المشتق فنجد :

$$dH/dX = dZ/dX + dh/dX + M \dots (3)$$

$$M = [2.Q.(dQ/dX) \cdot 2.g.A^2 - 2.g \cdot 2.A.(dA/dX) \cdot Q^2] / (4.g^2.A^4)$$

حسب الفرضيات أعلاه فإن :  $dQ/dX = 0$  و  $dA/dX$  تكتب كما يلي :

$$dA/dX = \partial A/\partial X + (\partial A/\partial h) \cdot (dh/dX)$$

وبما أن :  $dH/dX = -Jf$  و  $dZ/dX = Js$  ، بالتالي تصبح المعادلة رقم (3) بعد التعويض والاصلاح كما يلي :

$$dh/dX = \{Js - Jf + [Q^2 / (g.A^3)] \cdot (\partial A/\partial X)\} / \{1 - [Q^2 / (g.A^3)] \cdot (\partial A/\partial h)\}$$

وباعتبار أن :  $F^2 = [Q^2 / (g.A^3)] \cdot (\partial A/\partial h)$  ، يكون :

$$dh/dX = \{Js - Jf + [Q^2 / (g.A^3)] \cdot (\partial A/\partial X)\} / \{1 - F^2\} \dots (4)$$

إن العلاقة (4) هي العلاقة العامة للمنحنيات الراجعة. في حالة الاقنية الموشورية المقطع ، يمكن ملاحظة أن تغير المقطع بدلالة  $x$  هو معدوم ، حيث أن المقطع ثابت على طول محور قناة الجريان ، وبالتالي فإن :  $\partial A/\partial X = 0$  ، والمعادلة (4) تصبح :

$$dh/dX = (Js - Jf) / (1 - F^2) \dots (5)$$

3- حساب المنحنيات الراجعة :

1- الشروط الابتدائية :

قبل البدء في حساب المنحنيات الراجعة يجب معرفة الشروط  
الابتدائية التالية :

- إحداثيات نقطة البدء  $(h_0, X_0)$  ، في شروط الجريان العادية  
أو  $(h_c, X_0)$  ، في شروط الجريان الحرجة.

- معرفة العمق الحرج  $h_c$  والعمق النظامي  $h_n$

- إذا كانت  $h_0$  أكبر من  $h_c$  فإن حساب المنحنيات الراجعة

يجرى باتجاه معاكس لحركة جريان التيار في القناة.

- إذا كانت  $h_0$  أصغر من  $h_c$  فإن حساب المنحنيات الراجعة

يجرى باتجاه حركة جريان التيار في القناة.

- من أجل الحالة التي يكون فيها  $h_c < h_0$  و  $h_c < h_n$  ، يتوقف

حساب المنحنيات الراجعة عندما تساوي  $h(X)$  قيمة العمق النظامي

$h_n$  ، أما في الحالة التي يكون فيها  $h_c < h_0$  و  $h_c > h_n$  يتوقف

الحساب في النقطة التي يكون فيها  $h(X) = h_c$  ، والجريان الذي

هو تحت هذا العمق هو الجريان الشلالي ، وبالتالي فإنه يوجد

عند هذه النقطة موضع القفزة المائية.

- من أجل الحالة التي يكون فيها  $h_c > h_0$  و  $h_c > h_n$  ، يتوقف

حساب المنحنيات الراجعة عندما تساوي  $h(X)$  قيمة العمق النظامي

$h_n$  ، أما في الحالة التي يكون فيها  $h_c > h_0$  و  $h_c > h_n$  يتوقف

الحساب في النقطة التي يكون فيها  $h(X) = h_c$  ، والجريان الذي

هو فوق هذا العمق هو الجريان النهري ، وبالتالي فإنه يوجد

عند هذه النقطة موضع القفزة المائية.

## 2- طرق حساب المنحنيات الراجعة:

هناك العديد من الطرق المقترحة لحساب العلاقة (5) والتي من

الممكن إجمالها فيما يلي :

- الطرق التقليدية: وهي تلك الطرق التي اعتمدت إدخال بعض

التوابع المساعدة في حل التكامل الناتج عن العلاقة (5) ، نذكر

من بين هذه الطرق : طريقة باكميشف - الطريقة التي اقترحها CHOW

وغيرها من الطرق . مجمل هذه الطرق تعتمد الجداول الجاهزة

التي أنشأها باكميشف لحل التكامل التالي :

$$F(u, N) = \int du / (1 - u^n) \quad \text{في حالة الاقنية } J \leq 0$$



$J_s < 0$  في حالة الاقنية :  $F(U,N) = \int dU / (1+U^n)$

- الطرق البيانية : نذكر منها الطريقة التي إقترحها Hager

في كتابه Construction Hydraulique .

- الطرق العددية: وهي المفضلة في حالة توفر الحاسب الالى لكونها تفتني عن إستعمال الجداول الجاهزة أو المنحنيات البيانية ، ولكونها أيضا تعطي قيمة ذات دقة ، وتصلح لجميع مقاطع الاقنية سواء الطبيعية منها أو الموشورية .

نذكر من بين هذه الطرق : طريقة الفروق المحددة ، طريقة التكامل العددي ، طريقة التفاضل العددي ، ولكون معظم هذه الطرق معروفة لدى القارئ ، ولكوننا لسنا في صدد تناول بحث المنحنيات الراجعة بشئ من التفصيل إرتأينا أن نقدم لمحة موجزة عن طريقة التفاضل العددي والتي من الممكن أن تكون الاقل سماعا من بين هذه الطرق .

هذه الطريقة تعتمد منهج الحل المعروف بحل المعادلات التفاضلية ذات الشروط الابتدائية المعلومة .

ومن تلك الطرق لحساب المعادلات التفاضلية إخترتنا طريقة رانج كوتا - RUNGE KUTIA - ولعلنا نجد شرح هذه الطريقة في كتب التحليل العددي ، لذلك سوف نكتفي بكتابة خطوات الحل في هذه الطريقة :

إخترتنا كتقريب معقول لهذه الطريقة ، التقريب من الدرجة الرابعة لكونه يعطي درجة من الدقة لا بأس فيها في الحساب . ولقد آثرنا أيضا في هذه الطريقة جعل تابع المنحنيات الراجعة على الشكل التالي :

$$dX/dY = (1 - F^2) / (J_s - J_f)$$

هذا الاختيار حتمه علينا معرفة بداية ونهاية المتغير  $y$  وهو عمق الماء ، الامر الذي يسهل عملية التحكم في العمليات الحسابية .

إن المعادلة الاساسية لهذا التقريب وفق الشكل الذي إقترحناه للمعادلة التفاضلية للمنحنيات الراجعة تصبح على الشكل التالي :

$$X(i+1) = X(i) + (1/6) \cdot [K_1 + 2 \cdot K_2 + 2 \cdot K_3 + K_4]$$

حيث :

$$K1 = f(Y) \cdot h$$

$$K2 = f(Y+h/2) \cdot h$$

$$K3 = f(Y+h/2) \cdot h$$

$$K4 = f(Y+h) \cdot h$$

$$f(Y) = (1-F^2)/(J_S-J_F)$$

$h = (Y_0 - Y_F)/n$  : هو خطوة تزايد العمق  $Y$  وهو يساوى إلى  $h$   $Y_0$  هو نقطة البدء التي عرفناها سابقا ،  $Y_F$  هي نقطة النهاية والتي من الممكن أن تكون العمق النظامى أو العمق الحرج ، حسب شروط الجريان ، أما  $n$  فهي عدد الخانات التي نريد ، من أجل تقسيم المجال  $(Y_0 - Y_F)$  وتتبع درجة الدقة المستوخاة ، إلا أنها يجب أن لا تزيد عن قيمة معينة وإلا قلت الدقة ، بسبب تراكم الأخطاء .

من أجل إتمام عملية تقديم هذه الطريقة بشكل جيد ، قمنا بإنشاء برنامج بلغة الـ باسيك (BASIC) للقيام بحل جميع أنواع المنحنيات الراجعة للاقنية الموشورية المقطع ، مع إمكانية إيجاد معادلة خطية تربط بين الأعماق  $Y_i$  والفواصل  $X_i$  بواسطة طريقة التربيعات الصغرى . ( إنظر الملحق الخاص بهذا الامر )

\*

## الفصل السادس

\*

التدفق الاعظمى والاصغرى المتوافق  
مع وجود قفزة مائية فى المقطعين  
المثلثى والمستطيل الشكل  
- الدراسة النظرية -

### 1- مقدمة:

إن هذا الفصل الذى نحن بصدد مناقشته ، هو معالجة لظاهرة لوحظت منذ فترة قصيرة ، وهذه الظاهرة تتمثل فى كوننا عندما نريد تصريف مياه فيضان مثلا ، نحاول أن نحدد مقدار فتحة بوابة التصريف الاعظمى والمتوافق فى نفس الوقت مع وجود القفزة المائية المستقرة بين البوابة وعتبة تبديد الطاقة المنشأة من أجل التحريض على إيجاد مثل هذه القفزات بهدف تبديد الطاقة الناجمة عن هذا التصريف .

فهدفنا اذن هو تحديد الفتحة التى تصرف الغزارة العظمى وفى نفس الوقت تبقى محافظين على حالة وجود القفزة المائية المستقرة وفى حالتها الحدية ، هذه الحالة يمكن تعريفها بأن تكون نهاية القفزة أو الارتفاع المترافق الثانى تماما عند عتبة تبديد الطاقة ، ولعل الحالة الاقتصادية المثلى هى أن يكون طول قناة التصريف مساويا تماما لطول القفزة المائية ، أى أن يكون العمق المترافق الاول مساويا إلى العمق المضغوط الخارج من البوابة .

ولنفترض أننا حددنا تلك الفتحة التى من أجلها صرفنا هذا التدفق الاعظمى المتوافق مع وجود القفزة المائية ، ولكننا لاحظنا أن أى تغيير فى شروط إستقرار القفزة عند النهاية الحدية لها ، كتغيير فى فتحة البوابة ، أو تغيير فى إرتفاع العتبة ، أو حتى زيادة التدفق عن التدفق الاعظمى المحسوب ، سوف يخفى وجود هذه القفزة كلية ، وستحصل بالنتيجة على منطقة

الجريان الشلالي بين البوابة والعتبة ، الامر الغير مرغوب فيه قطعاً ، لخطورة هذا الجريان على قاع القناة بسبب الحث الذي يسببه لذلك القاع .

إن أى محاولة لارجاع القفزة إلى مكانها سوف تبوء بالفشل وذلك لكوننا سوف لن نتحصل على نفس قيمة التدفق الاعظمى الذى إستطعنا تحديده سابقاً ، وإنما سوف نتحصل على تدفق أقل بصورة ملحوظة عن ذلك التدفق والموافق أيضاً لظهور القفزة فى الحالة الحدية المشار إليها سابقاً . هذا التدفق نسميه التدفق الاصغرى المتوافق .

وكنتيجة لهذه المقدمة نستطيع القول بأننا يجب أن نحصر تمام الحرص بأن لانضيق القفزة بتجاوز الفتحة الحدية المسموح بها ، أو إرتفاع العتبة المسموح به لتصريف تلك الغزارة أو ذلك التدفق ، وإلا سوف ننظر لانقاص التدفق عن التدفق الاعظمى فى محاولة إرجاع تلك القفزة والابتعاد عن منطقة الجريان الشلالي .

## 2- حالة القناة المثلثية الشكل :

### 1- شروط الجريان الحر تحت البوابة :

لكى يكون الجريان حراً تحت فتحة البوابة ، يجب أن يكون الجريان فى هذه المنطقة هو الجريان الشلالي ، والحالة الحدية الفاصلة بين الجريان المغمر والجريان الحر ، بالإضافة إلى شرط الجريان الشلالي هو أن يكون العمق المترافق الاول للقفزة الحاصلة بعد فتحة البوابة يساوى إلى العمق المائى المضغوط الخارج من الفتحة أى :

$$(1) \dots \mathbb{F}_1^2 > 1$$

شرط الجريان الشلالي :

$$(2) \dots h_1 = C_c \cdot a_v$$

الحالة الحدية للجريان الحر :

$C_c$  : معامل الانضغاط للبوابة

$a_v$  : فتحة البوابة

من الشرطين (1) و (2) نستطيع أن نكتب :

$$Q > \sqrt{(g/2)} \cdot m \cdot \sqrt{(h_1^5)}$$
$$\Rightarrow Q > \sqrt{(g/2)} \cdot m \cdot \sqrt{[(C_c \cdot a_v)^5]}$$

إن معامل الانضغاط  $C_c$  يمكن إعتباره مساويا إلى 0.61 في حالة الجريان الحر ، ومن هنا نرى أنه لكل فتحة من فتحات البوابة يوجد تدفق أصغرى ، يجب عدم الوصول إليه للحفاظ على الجريان الحر خلف فتحة البوابة.

هذا الشرط هو شرط لازم وغير كافي ، ولكي يكون شرط الجريان الحر خلف البوابة لازما وكافيا في نفس الوقت يجب أن يكون :

$$Y_2' > Y_2$$

$Y_2'$  : هو العمق المترافق الثاني للقفزة المائية في حال إعتبارنا أن العمق الاول يساوى إلى  $Y_1 = C_c \cdot a_v$  . ونتحصل عليه باستعمال العلاقة التي تحصنا عليها سابقا بالنسبة للمقطع المثلثي الشكل وهي :

$$Y_2' = Y_1 \cdot a \cdot F_1^b$$

$$a = 1.0447$$

$$b = 0.69775$$

$Y_2$  : عمق الماء الحقيقي في منطقة الجريان النهري

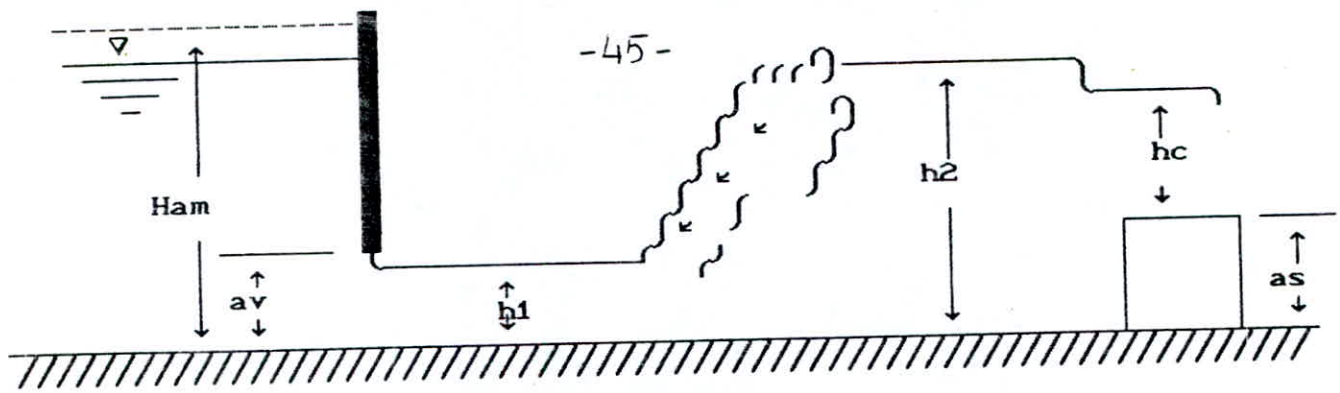
2- حساب التدفق الاعظمى المتوافق :

---

1-2 الطريقة المباشرة :

---

لتكن لدى حالة الجريان الحر تحت البوابة ، والقفزة المائية المتشكلة خلفها لها نهاية عند عتبة تبديد الطاقة كما يوضحه الشكل :



إن عمق الماء فوق العتبة ، هو العمق الحرج وذلك لكون الجريان قبل العتبة تماما هو الجريان النهرى ، وخلفها تماما هو الجريان الشلالى ، ولنعتبر أن ضياعات الطاقة فوق العتبة مهملة ، عندها نستطيع أن نكتب :

$$H_2 = H_c + a_s = a_s + 1,25 \cdot h_c \dots\dots\dots(1)$$

$a_s$  : هو إرتفاع العتبة و :

$$H_c = h_c + \frac{Q^2}{2 \cdot g \cdot A^2} = 1,25 \cdot h_c$$

نقسم طرفى العلاقة (1) على  $h_c$  فنحصل على العلاقة اللاحقة التالية :

$$\begin{aligned} H_2 / h_c &= a_s / h_c + 1,25 \\ \Rightarrow a_s / h_c &= H_2 / h_c - 1,25 \end{aligned}$$

نرمز من الان فصاعدا بالرمز  $(\sigma)$  لكل حد نقسمه على  $h_c$  ، إن المعادلة أعلاه تكتب عندئذ كما يلى :

$$a_s \sigma = H_2 \sigma - 1,25 \dots\dots\dots(2)$$

نعلم أن معادلة كمية الحركة لقناة مثلثية الشكل وأفقية يمكن أن تعطى بالعلاقة التالية :

$$m \cdot h_1^3 / 3 + Q^2 / (g \cdot m \cdot h_1^2) = m \cdot h_2^3 / 3 + Q^2 / (g \cdot m \cdot h_2^2)$$

نعلم أيضا أن حالة العمق الحرج هى الحالة التى يكون فيها عدد فروود مساويا للواحد أى :

$$F^2 = 1 \Rightarrow (2.Q^2)/(g.M^2.hc^5) = 1$$
$$\Rightarrow Q^2 = (g/2).M^2.hc^5 \dots\dots\dots(3)$$

بالتعويض في معادلة كمية الحركة أعلاه يكون :

$$m.h_1^3/3 + (m.hc^5)/(2.h_1^2) = m.h_2^3/3 + (m.hc^5)/(2.h_2^2)$$

بالاختصار وضرب طرفي العلاقة ب  $6/hc^3$  نستنتج :

$$2.h_1\alpha^3 + 3/h_1\alpha^2 = 2.h_2\alpha^3 + 3/h_2\alpha^2 \dots\dots(4)$$

يمكن كتابة الضاغط الكلي  $H_2$  كما يلي :

$$H_2 = h_2 + Q^2/(2.g.M^2.h_2^4)$$

وبتعويض  $Q^2$  بما يساويها من العلاقة (3) نستنتج :

$$H_2 = h_2 + hc^5/(4.h_2^4)$$

نتقسم طرفي العلاقة على  $hc$  فيكون :

$$H_2\alpha = h_2\alpha + 1/(4.h_2\alpha^4) \dots\dots\dots(5)$$

وإذا ضربنا طرفي العلاقة (2) ب  $hc/h_1$  تصبح :

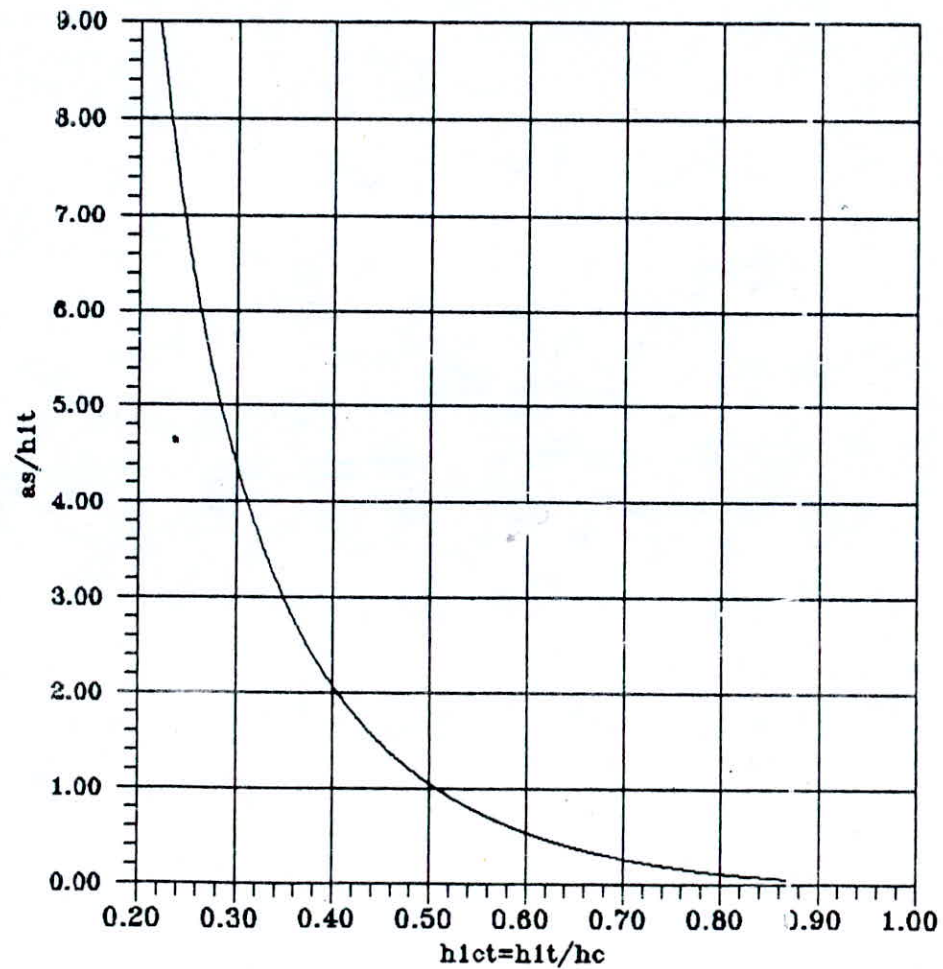
$$as/h_1 = (H_2\alpha - 1.25)/h_1\alpha \dots\dots\dots(6)$$

إن العلاقات (6) و (5) و (4) تجعل  $as/h_1$  هو ذو علاقة وحيدة ل  $h_1\alpha$  ، فبإمكاننا تمثيل هذه العلاقات بيانياً ، ومن أجل أي قيمة ل  $as/h_1$  معلومة يمكن حساب  $h_1\alpha$  المقابلة ، والتي تشكل القيمة العظمى المتوافقة مع التدفق الاعظمى المطلوب حسابه .

يمكن حساب التدفق الاعظمى كما يلي :

- يمكن الاستنتاج بسهولة أن :  $F_1^2 = (hc/h_1)^5$  ، أي أن :

Le graphe qui donne  $h_{ict}(\max)$  en fonction  
de  $as/h_{1t}$  -  $as$  : c'est la hauteur du seuil  
-  $h_{1t}$  : première hauteur conjuguée  
CANAL TRIANGULAIRE





:  $F_1^2 = h_1 \sigma^{-5}$  ، ولكننا نعلم أن :

$$F_1^2 = (2.Q^2)/(g.M^2 . h_1^5)$$
$$\Rightarrow Q^2_{\max} = (g/2).M^2 . h_1^5 . F_1^2$$

- وبتعويض  $F_1^2$  بما يساويه من  $h_1 \sigma$  نستطيع حساب التدفق الاعظمي المتوافق.

### (2-2) الطريقة التقريبية :

نستطيع هنا أن نستبدل العلاقة (4) بالعلاقة التقريبية التالية :

- نعلم أن علاقة الاعماق المترافقة في المقطع المثلثي الشكل تعطى بدلالة  $F_1$  كما يلي :

$$h_2/h_1 = a.F_1^b \Rightarrow h_2 \sigma/h_1 \sigma = a.F_1^b \dots (7)$$

- ونعلم أيضا أن :  $F_1^2 = h_1 \sigma^{-5}$  هذا يعطى أن :

$$F_1 = h_1 \sigma^{-5/2}$$

- بالتعويض في العلاقة (7) يكون :

$$h_2 \sigma = h_1 \sigma . a . h_1 \sigma^{-5.b/2} \dots \dots \dots (8)$$

فالعلاقات (6) و (5) و (8) تعطى حلا تقريبا للحصول على  $h_1 \sigma$  وبالتالي التدفق الاعظمي المتوافق.  
قمنا برسم المنحنى الذي يعطى قيمة  $(h_1 \sigma)_{\max}$  من أجل مختلف قيم  $as/h_1$  بواسطة العلاقة التقريبية أعلاه.

مثال :

أحسب قيمة الغزارة العظمى المتوافقة لقناة مثلثية الشكل

فيها  $m=1$  و  $h_1=0.35$  ، وإرتفاع العتبة يساوي :  $as=1.4$

الحل :

من أجل الحل ننظم الحساب كما يلي :

- نحسب  $as/h_1$  فنجدها تساوي إلى :

$$as/h_1 = 1,4/0,35 = 4$$

- ننظم الحساب بجدول نعطي في خانته الاولى قيما متغيره

لـ  $h_1\sigma$  بين الصفر والواحد ، وفي خانته الثانية نحسب قيم

$h_2\sigma$  من العلاقة (8) ، أما في خانته الثالثة فنحسب من العلاقة

رقم (6)  $as/h_1$  الجديدة ونقارنها مع القيمة المعطاة ، حتى

نتحصل في النهاية على توافق بين القيمتين ، عندها نوقف

الحساب ، ونختار قيمة  $h_1\sigma$  ومن أجلها نحسب قيمة التدفق الاعظمى

من علاقة التدفق أعلاه بدلالة  $F_1$ .

$h_1\sigma$	$h_2\sigma$	$as/h_1$ (المحسوبة)
0.5	1.74953	1.052
0.6	1.52763	0.539
0.3	2.5583	4.380
0.35	2.2811	4.380
0.31	2.4966	4.04
0.309	2.5026	4.07

نأخذ قيمة  $h_1\sigma$  التي تساوي 0.31 بخطأ قدره 1% ، ولقد وجدنا بالطريقة المباشرة أن :  $h_1\sigma = 0.31$  ، وبالتالي فالطريقة التقريبية لها دقة مناسبة وأسهل للاستعمال .

- نحسب التدفق الاعظمى المتوافق من العلاقة التالية :

$$Q = (g/2)^{0,5} . m . (h_1/h_1\sigma)^{5/2}$$

$$\Rightarrow Q = 2.99975 = 3 \text{ m}^3/\text{s}$$

2- حساب التدفق الاصغرى المتوافق :

لحساب التدفق الاصغرى المتوافق نفترض أننا فى حالة الجريان الشللى ، وأننا نقوم بعملية إنقاص للتدفق من أجل الحصول على التدفق الملائم لحدوث القفزة المائية ، فى هذه الحالة يكون عمق الماء فوق العتبة مساويا للارتفاع الحرج وما زالت قيمتا العمقين المترافقين  $h_1$  و  $h_2$  متساويتان ، أى أن :

$$H_1 = H_2 \Rightarrow H_{1\sigma} = H_{2\sigma}$$

نعوض بالعلاقة (6) فيكون :

$$as/h_1 = (H_{1\sigma} - 1.25)/h_{1\sigma} \dots\dots\dots(9)$$

إن قيمة  $H_{1\sigma}$  يمكن كتابتها بدلالة  $h_{1\sigma}$  كما فعلنا مع  $H_{2\sigma}$  ، كما يلي :

$$H_{1\sigma} = h_{1\sigma} + 1/(4 \cdot h_{1\sigma}^4)$$

أما التدفق الاصغرى المتوافق فنستطيع حسابه من علاقة التدفق التالية :

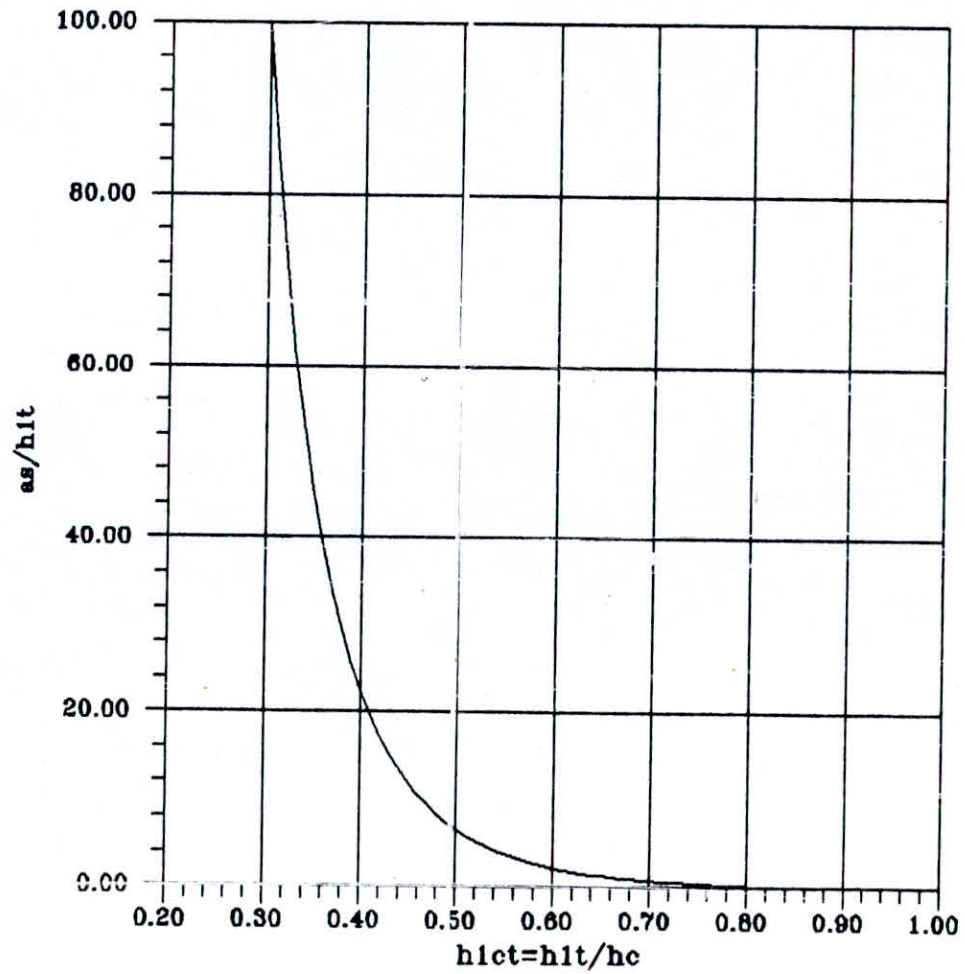
$$Q_{min} = (g/2)^{(1/2)} \cdot m \cdot (h_1/h_{1\sigma})^{(5/2)}$$

إن العلاقة (9) يمكن حسابها بيانيا أو بواسطة التقريب المتتالى ، قمنا أيضا برسم العلاقة التى تعطى  $(h_{1\sigma})_{min}$  من أجل مختلف قيم  $as/h_1$  .

3- حالة القناة المستطيلة الشكل :

1- شروط الجريان الحر تحت البوابة :

Le graphe qui donne  $h_{1ct}(\text{min})$  en fonction  
de  $as/h_{1t}$  -  $as$ : c'est la hauteur du seuil  
-  $h_{1t}$ : première hauteur conjuguée  
CANAL TRIANGULAIRE



لكي يكون الجريان حراحت تحت فتحة البوابة ، يجب أن يكون الجريان في هذه المنطقة هو الجريان الشلالي ، والحالة الحدية الفاصلة بين الجريان المغمور والجريان الحر ، بالإضافة إلى شرط الجريان الشلالي هو أن يكون العمق المترافق الأول للقفزة الحاصلة بعد فتحة البوابة يساوي إلى العمق المائي المضغوط الخارج من الفتحة أي :

- 1- شرط الجريان الشلالي :  $F_1^2 > 1$   
2- الحالة الحدية للجريان الحر :  $h_1 = C_c \cdot a_v$

$C_c$  : معامل الانضغاط للبوابة  
 $a_v$  : فتحة البوابة

من الشرطين (1) و (2) نستطيع أن نكتب :

$$Q > \sqrt{g \cdot b \cdot \sqrt{(h_1^3)}} \\ \Rightarrow Q > \sqrt{g \cdot b \cdot \sqrt{[(C_c \cdot a_v)^3]}}$$

إن معامل الانضغاط  $C_c$  يمكن إعتباره مساويا إلى 0.61 في حالة الجريان الحر .  
بالإضافة إلى هذا الشرط يوجد شرط آخر وهو:

$$Y_2' > Y_2$$

$Y_2'$  : هو العمق المترافق الثاني للقفزة المائية في حال إعتبارنا أن العمق الأول يساوي إلى  $Y_1 = C_c \cdot a_v$  . ونتحصل عليه باستعمال العلاقة التالية:

$$Y_2' = Y_1 \cdot (1/2) \cdot [\sqrt{(1+8 \cdot F_1^2)} - 1]$$

$Y_2$  : عمق الماء الحقيقي في حالة الجريان النهري

2- حساب التدفق الاعظمي المتوافق :

لتكن لدى حالة الجريان الحر تحت البوابة ، والقفزة المائية المتشكلة خلفها لها نهاية عند عتبة تبديد الطاقة. إن عمق الماء فوق العتبة هو العمق الحرج وذلك لكون الجريان قبل العتبة تماما هو الجريان النهرى ، وخلفها تماما هو الجريان الشالى ، ولنعتبر أن ضياعات الطاقة فوق العتبة مهملة ، عندها نستطيع أن نكتب :

$$H_2 = H_c + a_s = a_s + 1,5 \cdot h_c \dots\dots\dots(10)$$

$a_s$  : هو إرتفاع العتبة و :

$$H_c = h_c + (Q^2 / (2 \cdot g \cdot A^2)) = 1,5 \cdot h_c$$

نقسم طرفى العلاقة (10) على  $h_c$  فنحصل على العلاقة اللاحقة التالية :

$$H_2 / h_c = a_s / h_c + 1,5$$

$$\Rightarrow a_s / h_c = H_2 / h_c - 1,5$$

نضرب طرفى هذه العلاقة ب  $h_c/h_1$  فتصبح كما يلى :

$$a_s / h_1 = (H_2 / h_c - 1,5) / (h_1 / h_c)$$

نرمز من الان فصاعدا بالحرف  $(\alpha)$  لكل حد نقسمه على  $h_c$  ، إن المعادلة أعلاه تكتب عندئذ كما يلى :

$$a_s / h_1 = (H_2 \alpha - 1,5) / h_1 \alpha \dots\dots\dots(12)$$

نعلم أن الضاغط الكلى  $H_2$  يمكن كتابته كما يلى :

$$H_2 = h_2 + Q^2 / (2 \cdot g \cdot A^2)$$

ولكن نعلم أيضا أن التدفق  $Q^2$  فى حالة القناة المستطيلة يمكن كتابته بدلالة العمق الحرج كما يلى :

$$Q^2 = g \cdot b^2 \cdot h_c^3$$

بالتعويض في علاقة الضاغط نجد :

$$H_2 = h_2 + hc^3 / (2 \cdot h_2^2)$$

بالتقسيم على  $hc$  نستنتج العلاقة التالية :

$$H_{2cr} = h_{2cr} + 1 / (2 \cdot h_{2cr}^2) \dots \dots \dots (13)$$

إن علاقة الاعماق المترافقة أعطيت بدلالة  $F_1$  في المقطع المستطيل كما يلي :

$$h_2 / h_1 = (1/2) \cdot [\sqrt{(1+8 \cdot F_1^2)} - 1]$$

وبما أننا نستطيع أن نبرهن بسهولة على أن :  $1/F_1^2 = (h_1/hc)^3$  بعد التعويض في العلاقة أعلاه ، والتقسيم على  $hc$  يكون :

$$h_{2cr} / h_{1cr} = (1/2) \cdot \{ \sqrt{[1+8 \cdot h_{1cr}^3 (-3)]} - 1 \} \dots (14)$$

إن العلاقة (12) و (13) و (14) تسمح لنا بإيجاد قيمة  $(h_{1cr})_{max}$  من أجل قيمة  $as/h_1$  المعطاة .  
يمكن حساب قيمة الفزارة العظمى المتوافقة من العلاقة التالية :

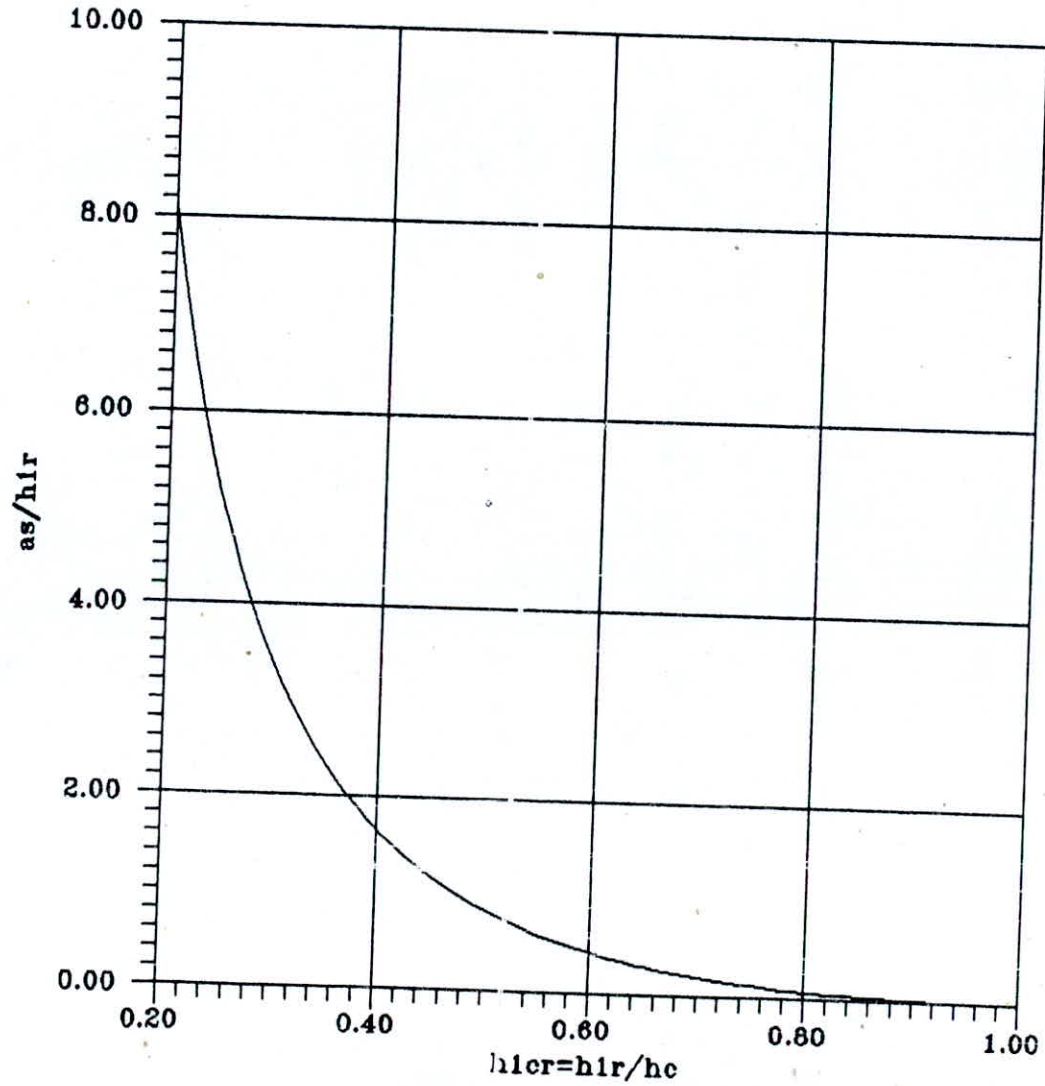
$$Q = g^{1/2} \cdot b \cdot (h_1 / h_{1cr})^{3/2} \dots \dots \dots (15)$$

قمنا برسم المنحنى الذي يعطى قيمة  $(h_{1cr})_{max}$  من أجل مختلف قيم  $as/h_1$  بواسطة العلاقات أعلاه .

### 3- حساب التدفق الأصغرى المتوافق :

لحساب التدفق الأصغرى المتوافق نفترض أننا في حالة الجريان الشللى ، وأنها نقوم بعملية إنقاص للتدفق من أجل الحصول على التدفق الملائم لحدوث القفزة المائية ، في هذه الحالة يكون عمق الماء فوق العتبة مساويا للارتفاع الحرج ومازالت قيمتا العمقين المترافقين  $h_1$  و  $h_2$  متساويتان ، أى أن :

Le graphe qui donne  $h_{1cr}(\max)$  en fonction  
de  $as/h_{1r}$  -  $as$ : c'est la hauteur du seuil  
-  $h_{1r}$ : première hauteur conjuguée  
CANAL RECTANGULAIRE





$$H_1 = H_2 \Rightarrow H_{1cr} = H_{2cr}$$

نعوض بالعلاقة (12) فيكون :

$$as/h_1 = (H_{1cr} - 1,5)/h_{1cr} \dots\dots\dots(16)$$

إن قيمة  $H_{1cr}$  يمكن كتابتها بدلالة  $h_{1cr}$  كما فعلنا مع  $H_{2cr}$  ، كما يلي :

$$H_{1cr} = h_{1cr} + 1/(2 \cdot h_{1cr}^2) \dots\dots\dots(17)$$

إن العلاقة (16) و (17) تمكنتنا من كتابة العلاقة التالية :

$$(h_{1cr}^3)_{min} + \{3/[2 \cdot (as/h_1 - 1)]\} \cdot (h_{1cr})_{min} - 1/[2 \cdot (as/h_1 - 1)] = 0$$

نتحمل بواسطة العلاقة السابقة على معادله من الدرجة الثالثة إذا وضعنا :

$$(h_{1cr})_{min} = X - 1/[2 \cdot (as/h_1 - 1)]$$

$$\Rightarrow X^3 + s \cdot X + t = 0 \dots\dots\dots(18)$$

مع :

$$s = -(3/4) / [(as/h_1 - 1)^2]$$

$$t = [1 - 2 \cdot (as/h_1 - 1)^2] / [4 \cdot (as/h_1 - 1)^3]$$

إن مميز المعادلة (18) يعطى بالعلاقة التالية:

$$\Delta = [as/h_1 \cdot (as/h_1 - 2)] / [16 \cdot (as/h_1 - 1)^4]$$

إن إستقراء بسيطاً للمميز  $\Delta$  يجعلنا نميز بين الحالتين التاليتين :

$$1 < as/h_1 < 2 : \Delta < 0 \text{ من أجل } -1$$

إن المعادلة (18) تقبل ثلاث جذور حقيقية والتي من الممكن أن تجد لها حلا بواسطة الطريقة المثلثية ، واحد فقط من هذه الحلول هو الحل المقبول ، ويمكننا أن نحدده بواسطة العلاقة التالية :

$$X = 2 \cdot \sqrt{s/3} \cdot \cos(\alpha - 60)$$

إن قيمة الزاوية  $\alpha$  تتحدد بحيث :

$$\cos(3 \cdot \alpha) = (3 \cdot t) / [2 \cdot \sqrt{(s^3/3)}]$$

نعوض قيمتا  $s$  و  $t$  بما يساه بهما فنجد :

$$\cos(3 \cdot \alpha) = 1 - 2 \cdot (as/h_1 - 1)^2 \dots \dots \dots (19)$$

وأخيرا يكون الحل :

$$(h_{1cr})_{min} = [\cos(\alpha - 60) - 1/2] / [as/h_1 - 1]$$

$$as/h_1 > 2 \quad \Delta > 0 \quad \text{من أجل}$$

في هذه الحالة نجد الحل بواسطة العلاقة:

$$X = 2 \cdot \sqrt{s/3} \cdot \text{ch}(\alpha)$$

نعين قيمة  $\alpha$  من العلاقة :

$$\text{ch}(\alpha) = [3 \cdot t] / [2 \cdot \sqrt{(s^3/3)}]$$

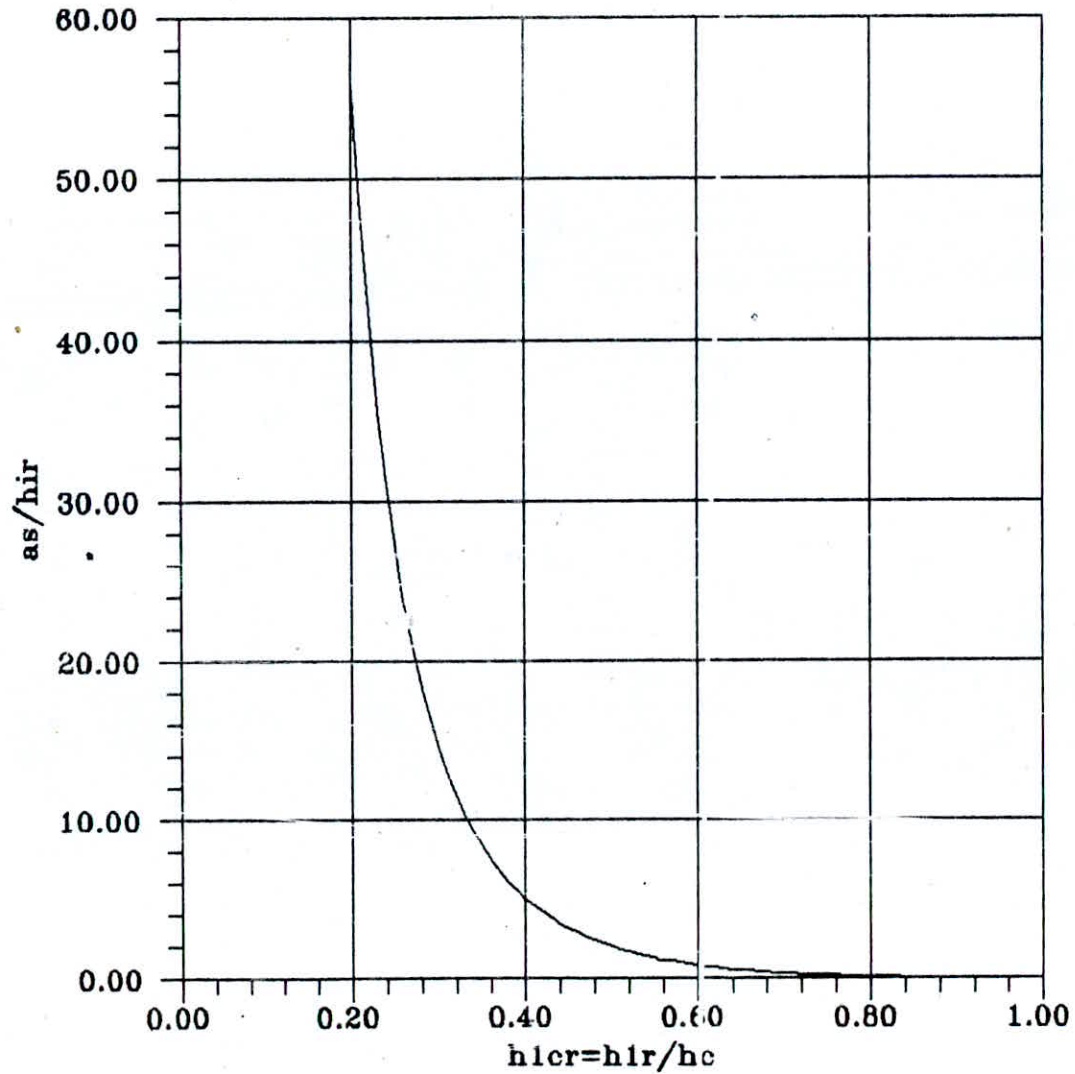
أما التدفق الاضغى المتوافق فنستطيع حسابه من علاقة التدفق التالية :

$$Q_{min} = (g)^{(1/2)} \cdot b \cdot (h_1/h_{1cr})^{(3/2)}$$

4- مقارنة بين المقطعين :

1- حالة التدفق الاعظمى المتوافق :

Le graphe qui donne  $h_{1cr}(\text{min})$  en fonction  
de  $as/h_{1r}$  -  $as$ : c'est la hauteur du seuil  
-  $h_{1r}$ : première hauteur conjuguée  
CANAL RECTANGULAIRE



كي نستطيع أن نقارن بين المقطعين المثلثي والمستطيل الشكل  
يجب أن نساوي بين العناصر التالية :

$$: (as)r = (as)t - 1$$

بحيث :

$$(as/h_1)t = (H_2\sigma - 1.25)/h_1\sigma \dots\dots(1)$$

$$(as/h_1)r = (H_2\sigma - 1.5)/h_1\sigma$$

$$: H_1 t^2 = H_1 r^2 - 2$$

من هذا التساوي نستطيع أن نكتب :

$$h_1\sigma = h_1\sigma^{(3/5)} \dots\dots\dots(2)$$

3- حالة تساوي المقطعين :  $Ar = At$

نستطيع أن نكتب بهذه الحالة العلاقة التالية بين التدفقين

$$(Qr^2/Q^2t)_{max} = [2 \cdot h_1 r \cdot h_1\sigma^5] / [h_1 t \cdot h_1\sigma^3] \dots(3)$$

تسمى الحد  $\theta^2_{max}$  بـ  $(Q^2t/Q^2t)_{max}$

لدينا أيضا العلاقات التالية :

$$H_2\sigma = h_2\sigma + 1/(4 \cdot h_2\sigma^4)$$

$$h_2\sigma = h_1\sigma \cdot a \cdot h_1\sigma^{(-5 \cdot b/2)}$$

$$a=1.0447 \dots\dots\dots(4)$$

$$b=0.69775$$

و :

$$H_2\sigma = h_2\sigma + 1/(2 \cdot h_2\sigma^2) \dots\dots(5)$$

$$h_2\sigma/h_1\sigma = (1/2) \cdot \{\sqrt{[1+8 \cdot h_1\sigma^{(-3)}]} - 1\}$$

إن العلاقات (1) ، (2) ، (3) ، (4) و (5) تمكننا من رسم الحد  $\theta^2_{max}$  بتابعية  $h_{1cr}$  .

2- حالة التدفق الاصفري المتوافق :

---

سنطلق من نفس شروط التساوى السابقة ، تصبح عندها العلاقات (1) في حالة التدفق الاصفري المتوافق كما يلي :

$$(as/h_1)t = (H_{1cr} - 1.25)/h_{1cr} \dots\dots(1)$$

$$(as/h_1)r = (H_{1cr} - 1.5)/h_{1cr}$$

إن العلاقات (4) ، (5) في هذه الحالة أيضا ، ليست ذا فائدة ، لذا يمكننا عن طريق العلاقات (1) و (2) و (3) أن نرسم الحد  $\theta^2_{min}$  بتابعية  $h_{1cr}$

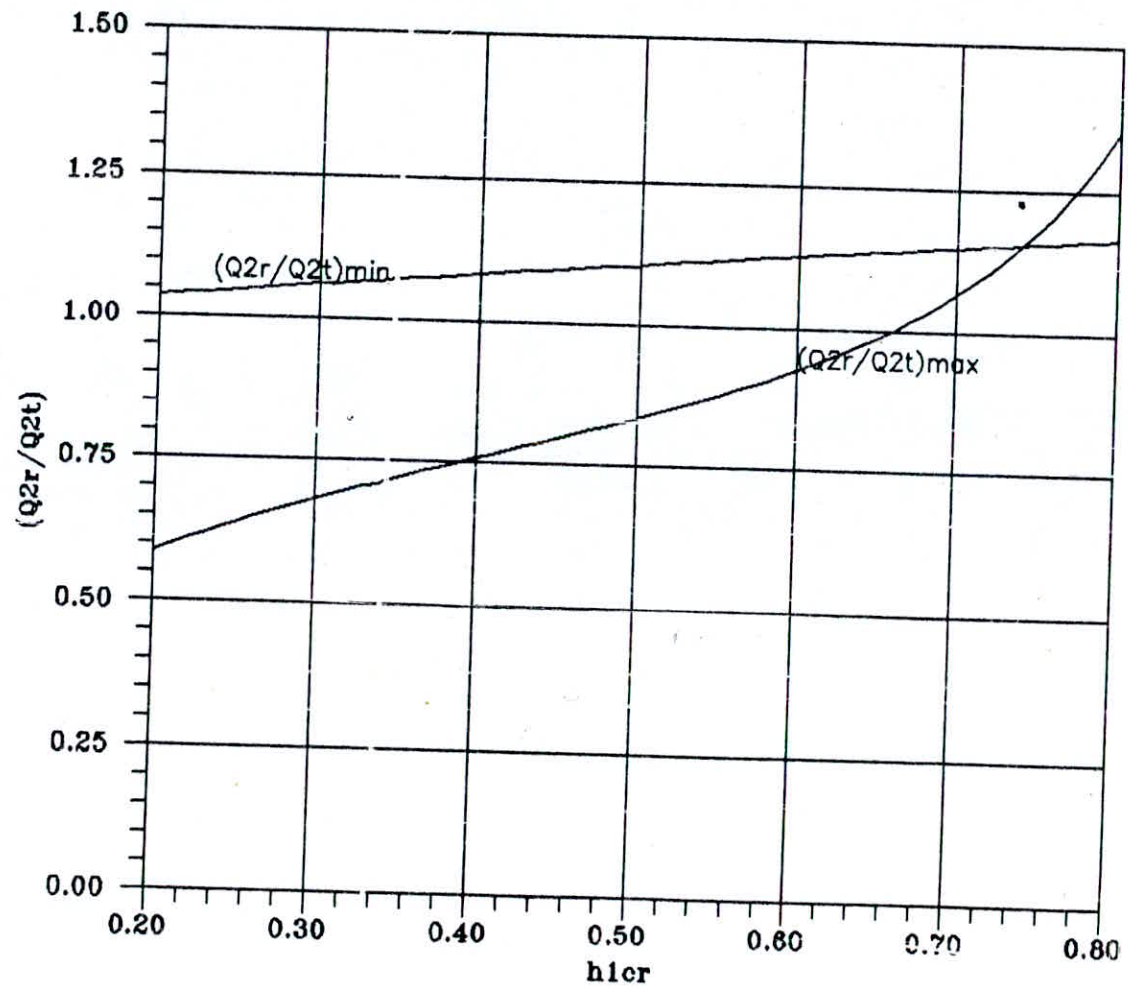
3- تحليل المنحنيات البيانية :

---

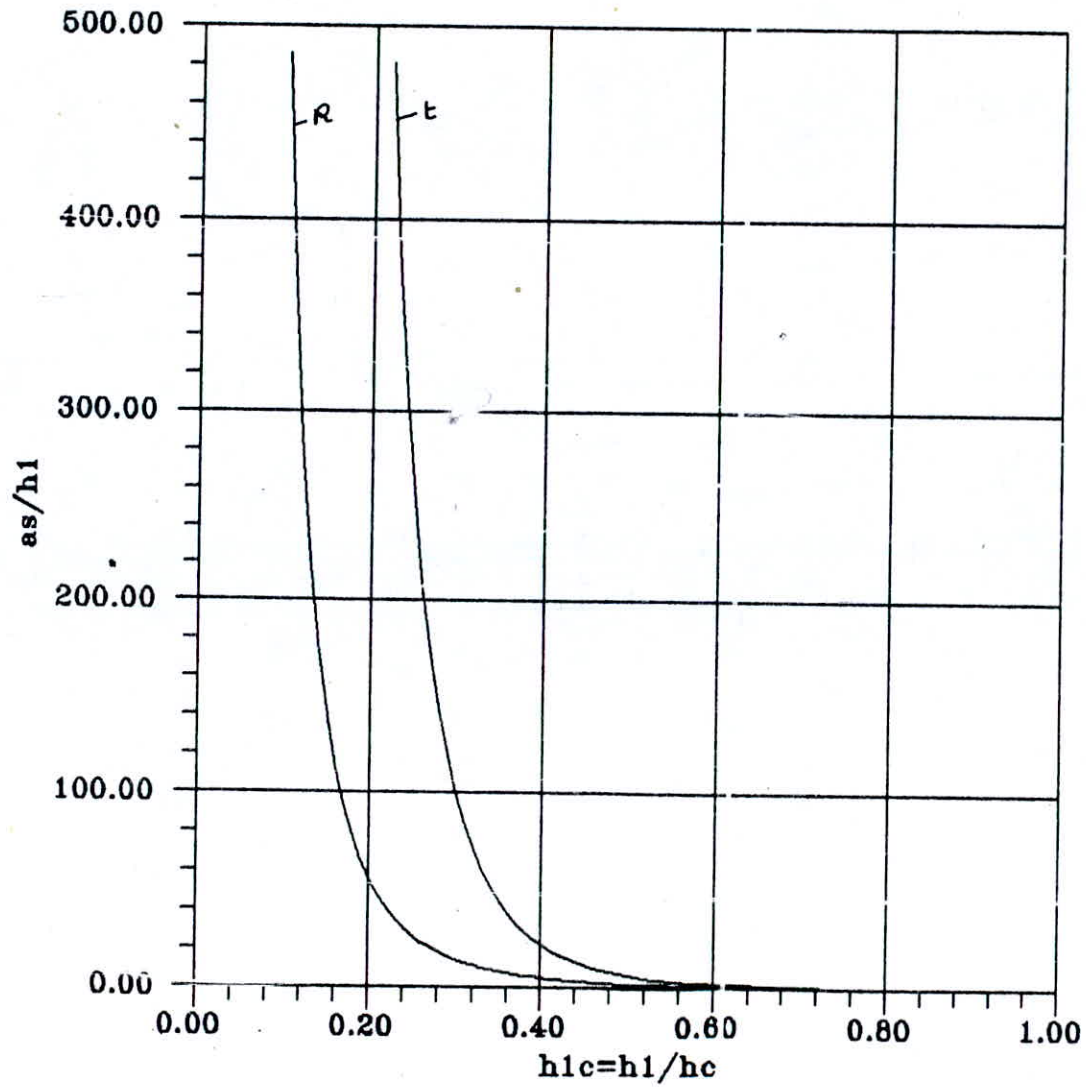
نرى من خلال المنحنيات البيانية لـ  $\theta^2$  العظمى والصفري أن التدفق الاعظمى للقناة المثلثية هو دائما أكبر من التدفق في حالة القناة المستطيلة الشكل من أجل  $h_{1cr} < 0.66$  الامر الذي يكافئ لـ  $F_{1r} > 1.87$  وهي تقريبا معظم الحالات العملية التي نواجهها .

أما في حالة التدفق الاصفري المتوافق فان القناة المستطيلة الشكل هي المفضلة لان النسبة  $Q^2_r/Q^2_t$  هي دائما أكبر من الواحد .

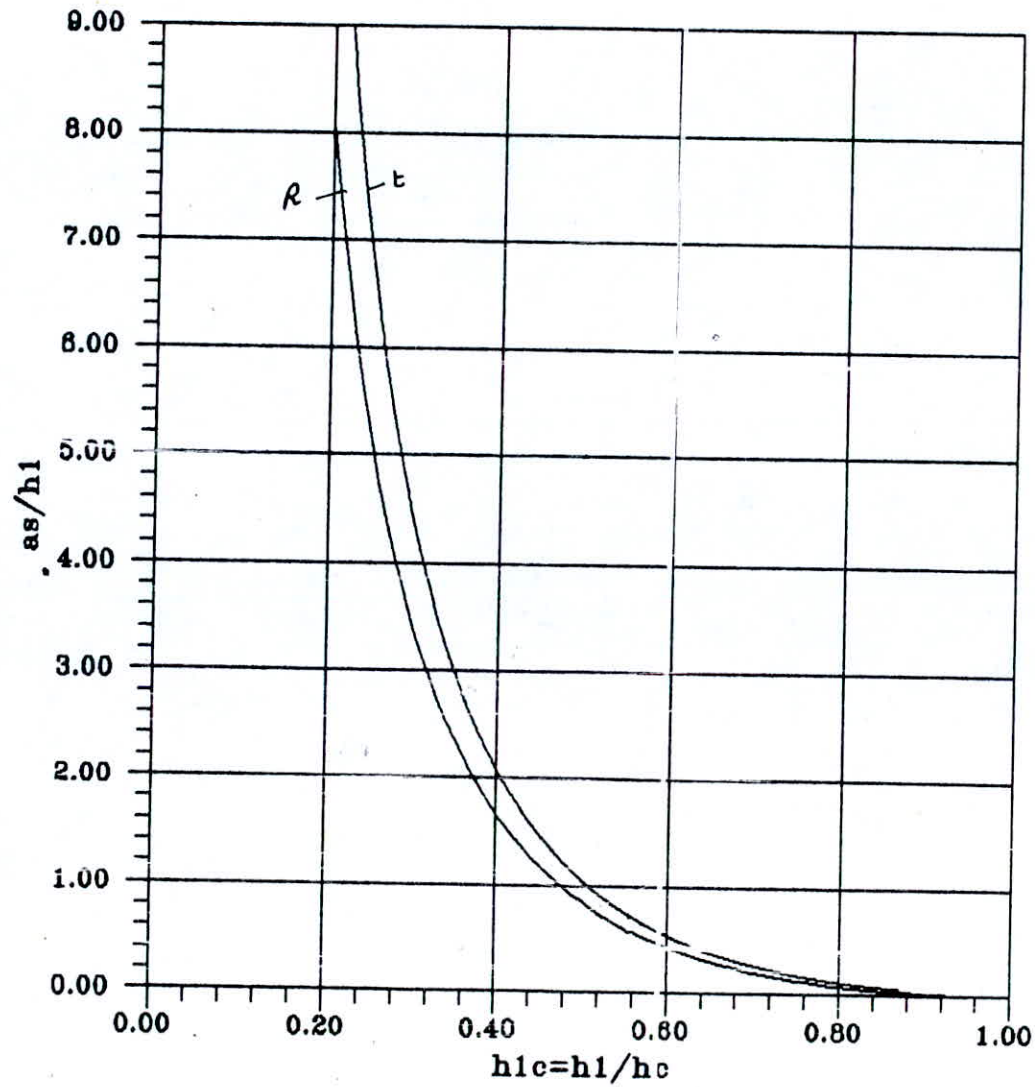
Le graphe donnant le rapport  $(Q_{2r}/Q_{2t})$  max. et min.  
en fonction de  $h_{icr}$  dans le cas où les deux  
sections sont égales et Fir, Fit  
sont égaux aussi



Le graphe qui donne  $h1c(\min)$  en fonction  
de  $as/h1$  -  $as$ : c'est la hauteur du seuil  
-  $h1$ : première hauteur conjuguée  
CANAL TRIANGULAIRE-RECTANGULAIRE



Le graphe qui donne  $h_{1c}(\max)$  en fonction  
 de  $as/h_1$  -  $as$ : c'est la hauteur du seuil  
 -  $h_1$ : première hauteur conjuguée  
**CANAL TRIANGULAIRE-RECTANGULAIRE**





\*

## الفصل السابع

\*

التدفق الاعظمى والاصغرى المتوافق  
مع وجود قفزة مائية فى المقطعين  
المثلثى والمستطيل الشكل  
- الدراسة التجريبية -

### 1- مقدمة:

كان من الصعب علينا أن نجري التجارب وفق الشروط التى  
أردنا أن نحققها ، لعدم توفر الاجهزة التى تلبى هذه الشروط ،  
حيث أن تحقيق العلاقة  $as/h_{1r}$  أكبر من الـ 2 هو أمر قد إستحال  
علينا لصغر أبعاد قناة التجربة ، فهذه القناة هى قناة  
مستطيلة الشكل ذات طول يقارب الثلاثة أمتار وعرض يساوى 8 سم ،  
وإرتفاع يقارب أيضا الـ 30 سم ، فالماء إما أن يفيض عن جوانب  
القناة من أجل فتحات صغيرة للبوابة وإما أن لايتحقق القفزة  
الحرية من أجل فتحات كبيرة ، ولكننا فى حدود المستطاع وفى  
حدود القيم لـ  $as/h_{1r}$  التى هى أصغر من الاثنى ، أجرينا  
تجاربنا ولم يكن بالطبع عدد الحالات المرصودة كبير وذلك  
لبقاءنا ندور فى فلك مجال صغير من قيم  $as/h_{1r}$  .

### 2- تحليل النتائج :

نعرض فى نهاية الفصل نتائج ثلاث تجارب فى تحديد التدفق  
الاعظمى المتوافق وثلاث أخرى فى تحديد التدفق الاصغرى المتوافق  
وذلك لعدة فتحات للبوابة وعدة إرتفاعات لعتبة تبديد الطاقة  
ولقد رمزنا بـ  $as$  لارتفاع عتبة تبديد الطاقة وبـ  $av$  لفتحة  
البوابة ، أما  $h_1$  فهو العمق المترافق الاول للقفزة ، إن قيم  $h_{1a}$   
نستطيع أن نتحصل عليها إما من المنحنى وإما من تطبيق العلاقات  
بشكل مباشر . أما الواحدات المستخدمة فهى : اللتر- السم

والثانية ، إن معرفة  $n_{10R}$  تمكنتنا من حساب التدفق النظري  $Q_{th}$  بالعلاقة مباشرة ، ومقارنته مع القيم المحسوبة من التجربة  $Q_{mes}$ . نلاحظ من إستقراء النتائج ، أن الاخطاء المرتكبة في حساب  $Q_{min}$  هي أقل من الاخطاء المرتكبة في حساب  $Q_{max}$  وذلك لكون تحديد التدفق الاصغرى أسهل بكثير من تحديد التدفق الاعظمى ، حيث أن الفرق بين حالة الجريان الشلالي وحدوث تلك القفزة لا يكاد يذكر عند الاقتراب من ذلك التدفق ، فأى تغيير طفيف فى التدفق ينقلنا مباشرة إلى حالة القفزة فى النهاية الحدية لها ، أما بالنسبة للتدفق الاعظمى ، فالتنازل نستطيع بالضبط تحديد موقع القفزة الحدى لها ، حسب الشروط النظرية التى وضعناها فى الدراسة ، فمن التجربة نلاحظ أنه لتغيرات كبيرة فى قيمة التدفق تبقى القفزة محافظة على وضعيتها الحدية من غير أن تختفى لبجل محلها الجريان الشلالي ، ومن هنا لانستطيع بالضبط تمييز الحالة التى يمكن أن نتوقف عندها والتى تتوافق مع التدفق الاعظمى المرغوب فيه ، خاصة وأننا أمام تدفقات ذات قيم صغيرة ، تحتاج لمزيد من الدقة من أجل معرفة الحدود الفاصلة المناسبة .

### 3- تقدير الاخطاء :

ليكن المطلوب تقدير الخطأ الناتج من حساب التدفق وفق العلاقة التالية :  $Q = (A.H)/T$  ، إن الخطأ الناتج من تطبيق هذه العلاقة إذا كانت الاخطاء المقدره على  $T$  و  $H$  و  $A$  هي  $e_T$  ،  $e_H$  ،  $e_A$  يمكن أن نحسبه كما يلى :

$$e_Q = [(\partial Q/\partial A)^2 \cdot e_A^2 + (\partial Q/\partial H)^2 \cdot e_H^2 + (\partial Q/\partial T)^2 \cdot e_T^2]^{(1/2)}$$

فى حالتنا قمنا بحساب التدفق من العلاقة التالية :

$$Q = V/T \Rightarrow e_Q = [(\partial Q/\partial V)^2 \cdot e_V^2 + (\partial Q/\partial T)^2 \cdot e_T^2]^{(1/2)}$$

حيث  $e_T$  هو الخطأ المقدر على حساب الزمن ونستطيع أن نقدره ب 0.5 ثانية ، أما  $e_V$  فهو الخطأ المقدر على حساب الحجم ويقدر ب 0.2 ليتر ، بتطبيق العلاقة أعلاه ، وباختيار القيم التالية :  $Q = 1.7513 \text{ 1/s}$  ،  $T = 11.42 \text{ s}$  ،  $V = 20 \text{ l}$  ، نستطيع أن نكتب :

$$eQ = [(1/T^2) \cdot 0.2^2 + (V^2/T^4) \cdot 0.5^2]^{(1/2)}$$
$$\Rightarrow eQ = 0.0787 \text{ 1/s} \Rightarrow eQ = 4.5\%$$

هذا هو إذن الخطأ الناتج عن تقييم التدفق بصورة تجريبية .  
هناك خطأ آخر يمكن أن يؤثر بصورة قوية على حساب التدفق  
النظري وهو خطأ تقدير  $h_{1r}$  حيث أن خطأ = قدره 1 مم ، يعطى  
حوالي الـ 6.5% من الخطأ في قيمة التدفق الاعظمى فمن أجل :

$$h_{1r}=1.4 \Rightarrow as/h_{1r}=1.786 \Rightarrow h_{1cr} = 0.389 \Rightarrow Q_{th}=1.708 \text{ 1/s}$$

$$h_{1r}=1.5 \Rightarrow as/h_{1r}=1.667 \Rightarrow h_{1cr} = 0.4 \Rightarrow Q_{th}=1.82 \text{ 1/s}$$

$$\Rightarrow eQ = 6.5\%$$

من هنا نرى أن تراكم هذين الخطأين يعطى أخطاءا معتبرة  
في تقدير التدفق ، مبررين بذلك كبر الأخطاء التي وجدناها .

#### 4- النتيجة :

نستطيع في النهاية القول : أننا قد تحصلنا على قيم  
تجريبية تقترب من القيم النظرية الامر الذي يبرهن وبشكل عملي  
صحة الدراسة النظرية التي أجريناها والقوانين التي وجدناها  
بالرغم من قلة لوسائل المتاحة .

هذا ومن الممكن أن نقدم في النهاية النصيحة التالية من  
أجل تصريف مياه الفيضانات أو تفرغ السدود :

يتعين على العامل المسؤول عن التحكم في بوابات المفيضات  
أن يحدد مسبقا الفتحة المطلوبة للبوابة لتصريف التدفق الاعظمى  
الممكن الوصول إليه مع وجود القفزة المائية ، وأن يقوم بوضع  
البوابة عند تلك الفتحة ، قبل السماح للمياه بالمرور ، وذلك  
لكي تتشكل لديه الحالة التي تتوافق مع التدفق الاعظمى  
المتوافق ، وإلا فإنه في حالة فتح البوابة تدريجيا ، نتحصل  
في البداية على الجريان الشلالي ومن ثم تظهر القفزة ، وهي  
الحالة التي تتوافق مع التدفق الاصغرى المتوافق ، الامر الذي  
يعنى ضياع الكثير من الوقت في تصريف مياه الفيضان أو مياه  
السد .

1) - Le debit max.

av	h1	as	as/h1	h1cr	Qth	Qmes	Erreur
2	1.4	2.5	1.786	0.389	1.708	1.813	6.1%
2.5	1.8	2.5	1.388	0.427	2.171	1.84	15.2%
3.5	2.45	2.5	1.020	0.473	2.955	2.324	21.3%

2) - Le debit min.

av	h1	as	as/h1	h1cr	Qth	Qmes	Erreur
2.5	1.95	2.5	1.282	0.550	1.674	1.926	15%
3.5	2.45	3.5	1.429	0.538	2.438	2.31	5.3%
3.5	2.65	2.5	0.943	0.584	2.422	2.327	3.9%

## الملحق (1)

### برنامج المنحنيات الراجعة

في هذا الملحق نقدم برنامجا بلغة البسيك (BASIC) نعرض فيه أحد طرق حل المنحنيات الراجعة بواسطة منهج الحل المسمى بـ RANGE KUTTA ، في بداية هذا البرنامج يطلب منا الحاسب الالى أن نعطيه عناصر القناة التي نريد أن نجد لها الحل ، ومن ثم يقوم الحاسب بحساب العمق الحرج والعمق النظامي ويقارنهم بما لديه من عمق إبتدائي ليحدد طبيعة المنحنى ، بعد عملية تحديد بداية ونهاية هذا المنحنى يقوم البرنامج بحساب إحداثيات المنحنى بالطريقة التي ذكرناها سابقا .

إن الطريقة التي إعتدناها لايجاد العمق النظامي والعمق الطبيعي هي طريقة إيجاد جذر معادلة باعطاء قيمتين عظمى وصغرى بين طرفي هذا الجذر وتعويضهما بالمعادلة ، وبعد ذلك نبدل بالقيم الناتجة القيم السابقة إذا كانت تلك القيم تتقارب من الجذر المطلوب ، ونعيد تلك العملية حتى نجد في النهاية الجذر الحقيقي .

لقد أدمجنا مع هذا البرنامج برنامجا آخر نستطيع بواسطته أن نجد معادلة المنحنى بواسطة طريقة التربيعات الصغرى ، هذه المعادلة لها شكل كثير حدود من أي درجة كانت (حتى الدرجة 15) إن طريقة الحل يمكن أن نجدها في كتب التحليل العددي ، لذلك إكتفينا بعرض المخطط المنطقي لطريقة الحل . وهو يحتوى على جزئين ، جزء يحتوى تشكيل مصفوفة الحل ، وجزء آخر يحتوى حل هذه المصفوفة بطريقة GAUSS .

```

1 CLS:SCREEN 0:COLOR 9,7:CLS:NN=15:L=0:SINSE=1
5 INPUT"Donner La longueur du canal XL=";XL
10 DIM X(101),Y(101)
50 REM -----Entrée les données-----
100 INPUT"Donner La largeur de base de la section du canal b=";B
150 INPUT"Donner La pente du talus m=";M:INPUT"Donner La rugosité n=";N
200 INPUT"Donner La hauteur initiale (Metter Ho=0 si Ho=Hcritique) Ho=";HO:INPUT
"Donner La pente de radier Js=";JS
300 INPUT"Donner Le debit Q=";Q:CLS:GOTO 610
450 REM-----Sub:Calcul du debit en fonction de H-----
500 S=H*(B+M*H):X=B+2*M*SGR(M^2+1):BB=B+2*M*H
510 R=S/X:C=1/N+17.72*LOG(R)/2.3026:K=C*S*SGR(R):QT=SINSE*K*SGR(JS):RETURN
605 REM -----Sub:Calcul de hauteur critique-----
610 DEF FNF(YY)=1-B^2*(B+2*M*YY)/((YY*(B+M*YY))^3*9.810001)
620 YMAX=100
630 YMIN=0
640 YCR=.5*(YMAX+YMIN)
650 FOR I=1 TO 50
660 X=FNF(YCR)
670 IF X>0 THEN YMAX=YCR
680 IF X<0 THEN YMIN=YCR
690 YCR=.5*(YMAX+YMIN):NEXT I:IF HO=0 THEN HO=YCR
700 IF JS<=0 THEN YNR=3*YCR:JS=ABS(JS):SIGNE=-1:GOTO 800
705 REM-----Sub:Calcul de la hauteur normale-----
710 DEF FNY(YY)=(1/N)*((YY*(B+M*YY))*((YY*(B+M*YY))/(B+2*YY*(1+M^2)^.5))^(2/3))*JS
^(1/2)-B
720 YMAX=100
730 YMIN=0
740 YNR=.5*(YMAX+YMIN)
750 FOR I=1 TO 50
760 X=FNY(YNR)
770 IF X>0 THEN YMAX=YNR
780 IF X<0 THEN YMIN=YNR
790 YNR=.5*(YMAX+YMIN):NEXT I
800 HN=YNR:HC=YCR
1000 REM-----:Determination de type de courbe de remous-----
1150 IF HN<HC THEN LOCATE 1,15:PRINT"Pente positive et Rapide Hn<Hc":GOTO 1180
1160 LOCATE 1,10:PRINT"Pente Horiz. ou Critic. ou Faible pente (positive ou nega
tive)":IF HO>HC THEN LOCATE 2,15:PRINT"Sus-Criticale ecoulement Ho>Hc":PO=-1:
Y=(HO-HN)*.998/NN:HX=HN:A$="Le courbe Vas vers l'amount":GOTO 2660
1170 IF HO<HC THEN LOCATE 2,15:PRINT"Sous critical ecoulement":PO=1:DY=(HC-HO)/
NN:HX=HC:A$="Le courbe vas vers L'aval":GOTO 2660
1180 IF HO>HC THEN LOCATE 2,15:PRINT"Sus-critical ecoulement Ho>Hc":A$="Le courb
e vas vers L'amount":PO=-1:DY=(HO-HC)/NN:HX=HC
1190 IF HO<=HC THEN LOCATE 2,15:PRINT"Sous-critical ecoulement":A$="Le courbe va
s vers L'aval":PO=1:NN=NN*2:DY=(HN-HO)*.998/NN:HX=HN
2660 Y=HO:FOR I=1 TO NN:GOSUB 2800
2670 L=L+DX:X(I)=L:IF L>XL THEN 2950 ELSE NEXT:K=I-1:GOTO 8003
2790 REM ----- SUB:-----CALCUL DE DX PAR RUNGE KUTTA -----
-
2800 H=Y:GOSUB 2900
2810 K1=FY*DY:H=Y+PO*DY/2:GOSUB 2900
2820 K2=FY*DY:H=Y+PO*DY/2:GOSUB 2900
2830 K3=FY*DY:H=Y+PO*DY:GOSUB 2900
2840 K4=FY*DY:DX=(K1+2*(K2+K3)+K4)/6:Y=Y+PO*DY:Y(I)=Y:RETURN
2890 REM -----SUB:-----CALCUL DE F(y) Qui est egale à dx/dy-----
-
2900 GOSUB 500:JF=B^2/K^2:V=Q/S:F=V/(SGR(9.810001*(S/BB))):FY=((JS-JF)/(1-F^2))^
-1:RETURN
2950 DY1=DY*(L-XL)/DX:Y(I)=Y(I-1)+PO*DY1:X(I)=XL:K=I

```

```
2990 REM -----RESULTS-----
8003 OPEN "0",#1,"remous"
21000 X(1)=0 : Y(1)=HD
21110 FOR I=1 TO K
21120 Y=Y(I):X=X(I)
21130 PRINT #1,X,Y
21140 NEXT :CLOSE #1
30290 GOSUB 51260:FOR I=1 TO K
30300 IF I<=15 THEN LOCATE 7+I,12:PRINT USING"#####.###";X(I):LOCATE 7+I,23:PRIN
Y(I)
30310 IF I>15 THEN LOCATE 7+I-15,43:PRINT USING"#####.###";X(I):LOCATE 7+I-15,54
PRINT Y(I)
30320 NEXT:LOCATE 3,15:PRINT A$:LOCATE 4,6 :PRINT" Hn=";HN;" Hc=";HC;"
Ho="; HO:LOCATE 3,40:A$=INPUT$(1):RUN"window"
1260 LOCATE 5,1:PRINT"
1265 PRINT" N" X Y N X Y
1268 PRINT"
1270 C$= " (###) (###)
1275 FOR J=1 TO 15
1278 PRINT USING C$;J,15+J:NEXT
1280 PRINT"
1290 RETURN
```

لمعرفة مدى نجاح هذا البرنامج ، قمنا بحل المثال التالي :

مثال تطبيقي :

أحسب إحداثيات المنحنى الراجع (أو منحنى الفيض) لقناة على  
على شكل شبه منحرف تمتلك المعطيات التالية:

طول القناة : 600 m

عرض القناة : 2.5 m

ميل محور القناة : 0.0002

ميل جدار القناة : 0.8

الخشونة النسبية للقناة : 0.012

الارتفاع الابتدائي للماء في القناة : 0.907

التدفق المار في القناة : 25 m<sup>3</sup>/s

أعطى الحاسب النتائج التالية:

Pente Horiz. ou Critic. ou Faible pente (positive ou negative) 11:53:35p

Sous critique et écoulement

Le courant va vers l'aval

Hn= 3.189889

Hc= 1.779949

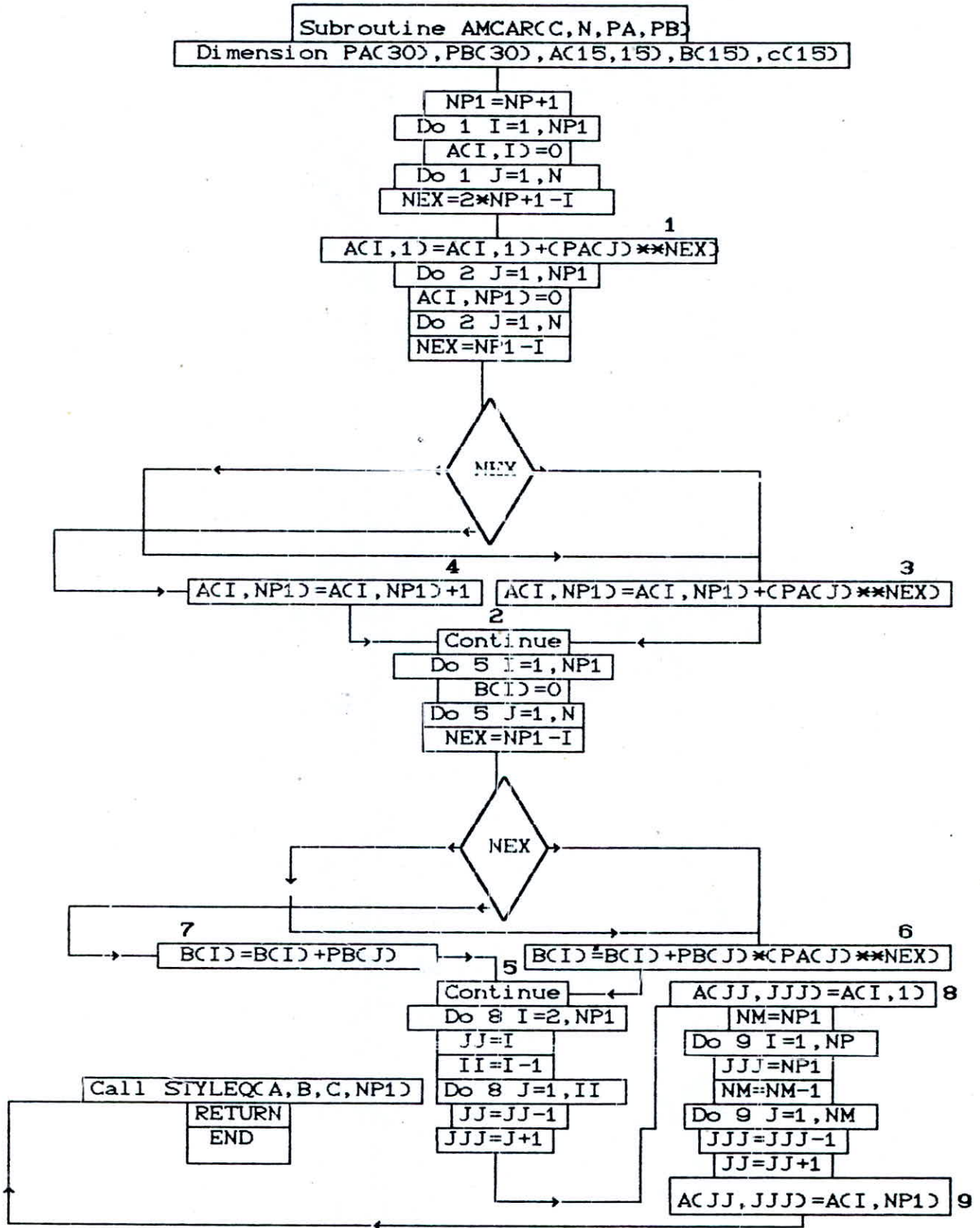
Ho= .907

N°	X	Y	N°	X	Y
1)	0.000	.907	16)		
2)	54.667	1.023393	17)		
3)	80.911	1.08159	18)		
4)	106.259	1.139786	19)		
5)	130.570	1.197983	20)		
6)	153.687	1.256179	21)		
7)	175.438	1.314376	22)		
8)	195.634	1.372572	23)		
9)	214.064	1.430769	24)		
10)	230.497	1.488966	25)		
11)	244.676	1.547162	26)		
12)	256.314	1.605359	27)		
13)	265.093	1.663555	28)		
14)	270.657	1.721752	29)		
15)	272.608	1.779948	30)		

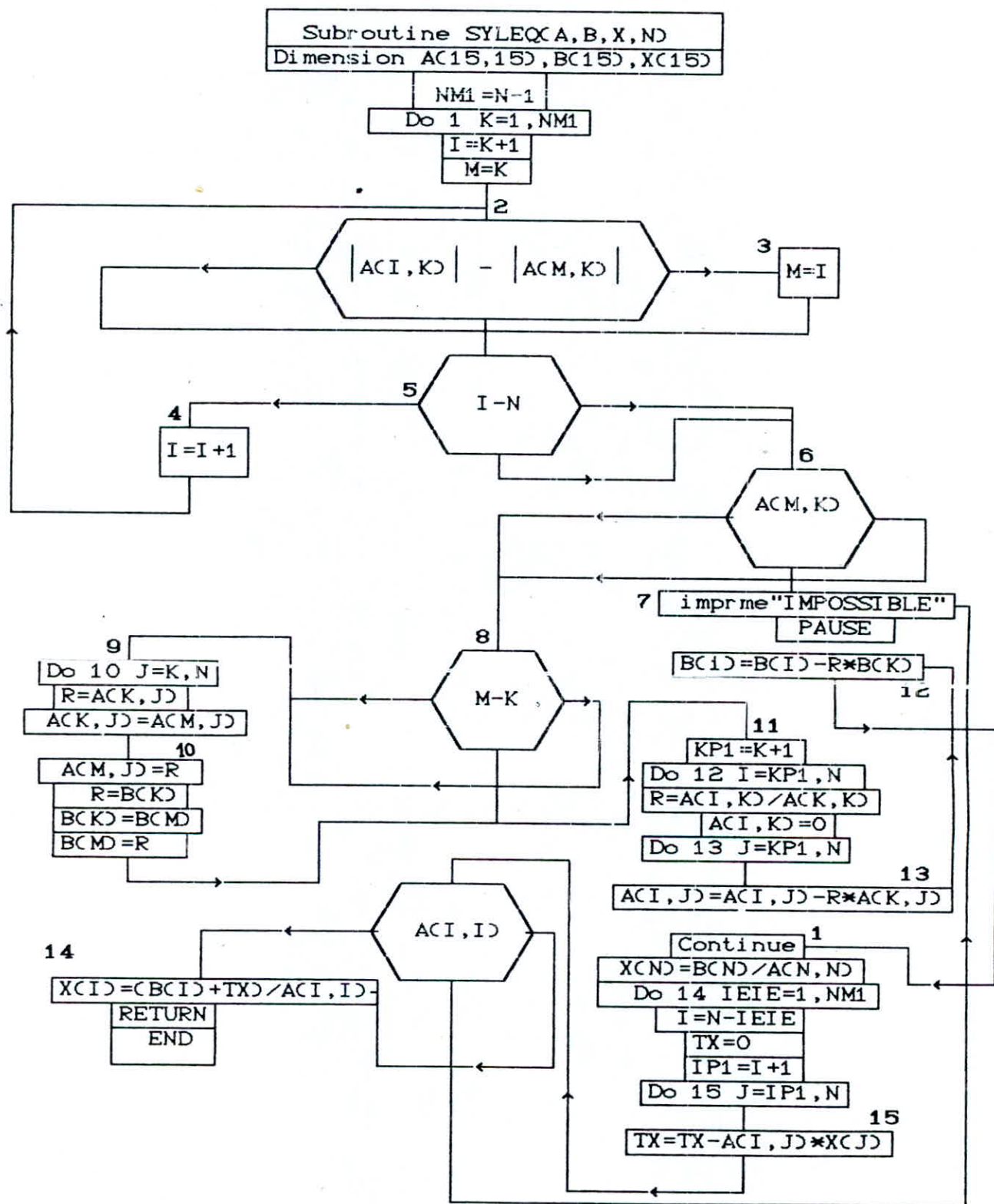


Organigramme de l'approximation par un polynome detrminé par le critère de moindre carée

NP: C'est le degré de polynome , N: Le dimension des données  
 PA: Les abscisses des données , PB: Les coordonnées



La resolution d'un system d'equation  
par la méthode de GAUSS



```
10 DIM PA(30),PB(30),A(30,30),B(30),X(30)
200 CLS:SCREEN 9:COLOR 14,7:PRINT CHR$(201);STRING$(78,205);CHR$(187);
210 PRINT CHR$(186);"                                APPROXIMATION PAR UN POLYNOME
      ";CHR$(186);
220 PRINT CHR$(186);SPACE$(78);CHR$(186);
230 PRINT CHR$(186);"                                DETERMINE PAR LE CRITERE DE MOINDRE CARR
ES      ";CHR$(186);
240 PRINT CHR$(186);"                                Departement Hydraulique- 5eme Annee-1990
      ";CHR$(186);
250 PRINT CHR$(186);"                                E L K H A T I B A H M E D
      ";CHR$(186);
260 PRINT CHR$(200);STRING$(78,205);CHR$(188);:COLOR 9,7:PRINT
270 INPUT "entrer le N° des points          max 30  ";N
280 INPUT "entrer le degre du Polynome desire max 15  ";NP
282 INPUT"Voulez Vous Entrer Les Valeurs (M)anuellement ou par (F)ichier";C$
283 IF C$<>"M" AND C$<>"M" AND C$<>"f" AND C$<>"F" THEN BEEP:GOTO 282
284 IF C$="M" OR C$="M" THEN 290
285 IF C$="f" OR C$="F" THEN INPUT"Donner Le Nom et Le N° de Fichier (NF$,N)";F
$,NF
286 OPEN "1",#NF,F$
287 K=1:WHILE NOT EOF(NF):INPUT #NF,PA(K),PB(K):K=K+1:WEND
288 CLOSE #NF:GOTO 370
290 CLS:GOSUB 51260:FOR I=1 TO N
300 IF I<=15 THEN LOCATE 3+I,12:INPUT PA(I):LOCATE 3+I,23:INPUT PB(I)
310 IF I>15 THEN LOCATE 3+I-15,43:INPUT PA(I):LOCATE 3+I-15,54:INPUT PB(I)
320 NEXT
330 LOCATE 20,12:INPUT"Voulez vous corriger une valeur O/N";A$
335 IF A$="n" OR A$="N" THEN GOTO 370
340 LOCATE 22,12:INPUT"La quelle N=";NC
350 IF NC<=15 THEN LOCATE 3+NC,12:INPUT PA(NC):LOCATE 3+NC,23:INPUT PB(NC):GOTO
330
360 IF NC>15 THEN LOCATE NC-12,43:INPUT PA(NC):LOCATE NC-12,54:INPUT PB(NC):GOTO
330
370 NP1=NP+1
380 FOR I=1 TO NP1
390 A(I,1)=0
400 FOR J=1 TO N
410 NEX=2*NP+1-I
420 A(I,1)=A(I,1)+(PA(J)^NEX)
430 NEXT:NEXT
440 FOR I=1 TO NP1
450 A(I, NP1)=0
460 FOR J=1 TO N
470 NEX=NP1-I
480 IF NEX<>0 THEN A(I, NP1)=A(I, NP1)+PA(J)^NEX ELSE A(I, NP1)=A(I, NP1)+1
490 NEXT:NEXT
500 FOR I=1 TO NP1
510 B(I)=0
520 FOR J=1 TO N
530 NEX=NP1-I
540 IF NEX<>0 THEN B(I)=B(I)+PB(J)*PA(J)^NEX ELSE B(I)=B(I)+PB(J)
550 NEXT:NEXT
560 FOR I=2 TO NP1
570 JJ=I
580 II=I-1
590 FOR J=1 TO II
600 JJ=JJ-1
610 JJJ=J+1
620 A(JJ, JJJ)=A(I,1)
630 NEXT:NEXT
640 NM=NP1
```

```
650 FOR I=1 TO NP
660 JJJ=NP1
670 JJ=I
680 NM=NM-1
690 FOR J=1 TO NM
700 JJJ=JJJ-1
710 JJ=JJ+1
720 A(JJ,JJJ)=A(I,NP1)
730 NEXT:NEXT
735 N=NP+1
740 NM1=N-1
750 FOR K=1 TO NM1
760 I=K+1
770 M=K
780 IF (ABS(A(I,K))-ABS(A(M,K)))>0 THEN M=I
790 IF (I-N)<0 THEN I=I+1:GOTO 780
800 IF A(M,K)=0 THEN PRINT " ((IMPOSSIBLE)))":END
810 IF (M-K) <>0 THEN GOSUB 1000
820 KP1=K+1
830 FOR I=KP1 TO N
840 R=A(I,K)/A(K,K)
850 A(I,K)=0
860 FOR J=KP1 TO N
870 A(I,J)=A(I,J)-R*A(K,J):NEXT J
880 B(I)=B(I)-R*B(K):NEXT I
890 NEXT K
900 X(N)=B(N)/A(N,N)
910 FOR IEIE=1 TO NM1
920 I=N-IEIE
930 TX=0
940 IP1=I+1
950 FOR J=IP1 TO N
960 TX=TX-A(I,J)*X(J)
970 NEXT J
980 IF A(I,I)=0 THEN PRINT " ((IMPOSSIBLE))) ":END
990 X(I)=(B(I)+TX)/A(I,I):NEXT IEIE :GOTO 1070
1000 FOR J=K TO N
1010 R=A(K,J)
1020 A(K,J)=A(M,J)
1030 A(M,J)=R:NEXT J
1040 R=B(K)
1050 B(K)=B(M)
1060 B(M)=R:RETURN
1065 D$=""
1070 CLS:PRINT:PRINT:PRINT"***** Les constantes sont
: *****":FOR I= 1 TO NP+1
1080 PRINT"C(";I;")=";X(I),
1082 D$="+c("+STR$(NP+2-I)+")*"+X^("+STR$(I-1)+")"+D$ :NEXT:PRINT"*****
***** L'equation est de type :*****":PRINT:PRINT"
Y =" +D$
1090 PRINT:PRINT"*****
*****":PRINT"Voulez vous interpoler O/N ";INPUT B$
1095 IF B$<>"o" AND B$<>"D" AND B$<>"n" AND B$<>"N" THEN BEEP:BEEP:GOTO 1090
1100 IF B$="n" OR B$="N" THEN RUN"window"
1105 INPUT "Entrer la valeur a interpoler X=";X
1107 Y=0
1110 FOR I=NP+1 TO 1 STEP -1
1120 Y=Y+X(NP-I+2)*X^(I-1) :NEXT
1130 PRINT " Y=";Y:GOTO 1090
51260 PRINT"
51265 PRINT" | N° | X | Y | N° | X | Y |
```

```
1268 PRINT*
1270 C$=  (###)
1275 FOR J=1 TO 15
1278 PRINT USING C$;J,15+J:NEXT
1280 PRINT*
1290 RETURN
```

الملحق (2)

المصطلحات العلمية

فرنسي	انكليزي	عربي
	-A-	
Accélération	Acceleration	تسارع
Ajutage	Mouthpiece	فوهة
Altitude	Altitude	إرتفاع
Angle	Angle	زاوية
	-B-	
Berme	Berm	كتف
	-C-	
Capillarité	Capillarity	الخاصة الشعرية
Cavitation	Cavitation	تكهف
Centre de Carène	Centre of Bouyancy	مركز الطفو
Charge	Head	حمولة
Charge Spécifique	Specific Energy	حمولة نوعية
Coefficient d'Energie	Energy Coefficient	معامل القدرة
Coefficient de Contraction	Coefficient of Contraction	معامل التضايق
Coefficient de Débit	Coefficient of Discharge	معامل التدفق
Coefficient de Quantité de Mouvement	Momentum - Coefficient	معامل العزم الحركي

Coefficient de Vitesse	Coefficient of Velocity	معامل السرعة
Concave	Concave	متعرج
Conduite	Conduit	أنبوب
Conduite en acier Rivtée	Riveted steel Conduit	أنبوب فولاذي مبرشم
Conduite en Béton	Concrete conduit	أنبوب خرساني
Contraction Complète	Full Contraction	تضيق تام
Contraction Latérale	End Contraction	تضيق طرفي
Contraction partielle	Partial Contraction	تضيق جزئي
Convexe	Convex	محدد ب
Corps Flottant	Floating Body	جسم عائم
Couche Limite	Boundary Layer	طبقة حدية
Coude	Bend	كوع
Courbe de Débit	Rating Curve	منحنى التدفق
Courbe de Remous	Back - Water	منحنى الفيض
Cours d'Eau Naturel	Natural Water Course	مجرى طبيعي

-D-

Débit	Discharge	تدفق
Densimètre	Densimeter	مقياس كثافة
Densité	Specific Gravity	الثقالة النوعية
Déversoir	Spillway , Weir	هدار - مفيض
Déversoir a' Seuil épais	Broad - Crested Weir	هدار عريض الحافة
Diaphragme	Diaphragm	حاجز

-E-

Ecoulement	Discharge	جريان
Ecoulement Adiabatique	Adiabatic Flow	جريان مكظوم
Ecoulement Convergent	Accelerated Flow	جريان متسارع
Ecoulement Critique	Critical flow	جريان حرج

Ecoulement divergent	Retarded Flow	جريان متباطئ
Ecoulement Fluvial	Tranquil Flow	جريان نهري
Ecoulement Laminaire	Laminar Flow	جريان صفحي
Ecoulement Tourbillon	Rapid Flow	جريان شلالى
Ecoulement turbulent	Turbulent Flow	جريان مضطرب
Elargissement Brusque	Sudden Expansion	توسع مفاجئ
Elasticité	Elasticity	مرونة
Energie Cinétique	Kinetic or Motive Energy	قدرة حركية
Charge Totale	Total Head	حمولة كلية
Equation de Continuité	Equation of Continuity	معادلة الاستمرار
Equilibre Indifferent	Neutral Equilibrium	توازن معتدل
Equilibre Stable	Stable Equilibrium	توازن مستقر

-F-

Fluide Compressible	Compressible Fluid	مائع قابل للانضغاط
Fonte	Cast Iron	حديد صب
Force d'inertie	Force of Inertia	قوة العطالة
Formation de Rouille	Formation of Rust	تكون الصدأ

-G-

Hauteur du a la Vitesse	Velocity Head	حمولة السرعة
Hauteur Piézométrique	Pressure Head	حمولة الضغط

-I-

Incrustation	Incrustation	تقشر
Isobares	Isobar - Constant Pressure Line	خط تساوى الضغط
Isodromes	Lines of Equal Velocity	خط تساوى السرعة

-J-



Jet Jet نافورة

-L-

Latitude Latitude خط عرض  
Ligne de courant Stream Line خط جريان  
Ligne de Charge Energy Gradient خط تدرج التدرج  
Ligne Piézométrique Hydraulic Gradient خط التدرج المائي  
Liquide Liquid سائل

-M-

Maçonnerie Masonery بنية  
Masse Specificque Specific Mass كتلة نوعية  
Mouvement Uniforme Uniform Flow جريان منتظم

-N-

Noeud Junction عقدة

-O-

Onde Wave موجة  
Orifice Orifice فتحة

-P-

Paramètre Parameter عامل  
Particule Liquide Liquid Particle جزيئ سائل  
Perimètre Mouillé Wetted Perimeter محيط مبلول  
Pertes de Charge Head Losses ضياعات الحمولة  
Pression Pressure ضغط  
Pression Absolue Absolute Pressure ضغط مطلق  
Profondeur Critique Critical Depth عمق حرج  
Profondeur Normale Normal Depth عمق نظامي

Profondeur Conguguée du Ressaut      Conjugate depth of the Jump      العمق المترافق للقفزة

-R-

Rayon de Giration      Raduis of Gyration      نصف قطر التارجح  
Rayon Hydraulique      Hydraulic Raduis      نصف القطر المائي  
Ressaut Hydraulique      Hydraulic Jump      قفزة مائية  
Rétrécissement brusque      Sudden Contraction      تضيق مفاجئ  
Rugosité Relative      Relative Roughness      خشونة نسبية

-S-

Section      Section      مقطع  
Seuil Normal      Normal Sill      عتبة نظامية  
Solubilité      Solibility      قابلية الانحلال

-T-

Surface Libre      Free Surface      سطح حر  
Talus      Slope      الميل  
Tension Superficielle      Surface Tension      التوتر السطحي  
Transformation      Transformation      التحول  
Trajectoire      Path Line      خط المسار  
Transformation Adiabatique      Adiabatic Transformation      تحول مكظوم  
Tuyau      Pipe      أنبوب  
Tuyau Souple      Hose      خرطوم  
Tuyère      Nozzle      ميزاب

-U-

Vanne      Sluice Gate , Valve      سكر بوابي  
Vanne Papillon      Butterfly Valve      سكر فراشة  
Veillissement des Conduites      Ageing of Conduits      تقادم الانابيب

Viscosité	Viscosity	اللزوجة
Viscosité Cinématique	Kinematic Viscosity	لزوجة حركية
Vitesse d'Amenée	Velocity of Approach	سرعة الاقتراب
Vitesse Instantanée	Instantaneous Velocity	السرعة الانية

\*\*\*\*\*

قائمة المراجع

اسم المراجع المؤلف الناشر الاصدار

1- المراجع باللغة الاجنبية:

1985	McGraw-Hill	VEN TE CHOW	OPEN CHENNEL HYDRAULIQUE-
1989	Presses Polytechniques Romandes	R . O. Sinniger W. H. Hager	CONSTRUCTUONS HYDRAULIQUES-
			JOURNAL OF HYDRAULIC RESEARCH- VOL.25 1987 NO.5

2- المراجع باللغة العربية :

1985	جامعة دمشق	الدكتور محمد بشير المنجد	- مبادئ الجريانات ذات السطح الحر
1982	جامعة حلب	الدكتور محمد فيصل الرفاعي	- الدليل العملي للهيدروليكي
1977	جامعة حلب	ترجمة الدكتور أحمد فيصل أصفري	- أصول الهيدروليكي الهندسي

الجزء الأول

TABLE 2-1. GEOMETRIC ELEMENTS OF CHANNEL SECTIONS

Section	Area $A$	Wetted perimeter $P$	Hydraulic radius $R$	Top width $T$	Hydraulic depth $D$	Section factor $Z$
 Rectangle	$by$	$b + 2y$	$\frac{by}{b + 2y}$	$b$	$y$	$by^{1.5}$
 Trapezoid	$(b + zy)y$	$b + 2y\sqrt{1+z^2}$	$\frac{(b + zy)y}{b + 2y\sqrt{1+z^2}}$	$b + 2zy$	$\frac{(b + zy)y}{b + 2zy}$	$\frac{[(b + zy)y]^{1.5}}{\sqrt{b + 2zy}}$
 Triangle	$zy^2$	$2y\sqrt{1+z^2}$	$\frac{zy}{2\sqrt{1+z^2}}$	$2zy$	$\frac{1}{2}zy$	$\frac{\sqrt{2}}{2}zy^{1.5}$
 Circle	$\frac{1}{8}(\theta - \sin \theta)d_0^2$	$\frac{1}{2}\theta d_0$	$\frac{1}{4}\left(1 - \frac{\sin \theta}{\theta}\right) \cdot d_0$	$\frac{(\sin \frac{1}{2}\theta)d_0}{\sin \frac{1}{2}\theta} = \frac{d_0}{\sin \frac{1}{2}\theta}$	$\frac{1}{8}\left(\frac{\theta - \sin \theta}{\sin \frac{1}{2}\theta}\right) d_0$	$\frac{\sqrt{2}}{32} \frac{(\theta - \sin \theta)^{1.5}}{(\sin \frac{1}{2}\theta)^{0.5}} d_0^{2.5}$
 Parabola	$\frac{3}{8}Ty$	$T + \frac{8y^2}{3T}$	$\frac{2T^2y}{3T^2 + 8y^2}$	$\frac{3A}{2y}$	$\frac{3}{8}y$	$\frac{3}{8}\sqrt{6}Ty^{1.5}$
 Round-cornered rectangle ( $r > r$ )	$\left(\frac{\pi}{2} - 2\right)r^2 + (b + 2r)y$	$(\pi - 2)r + b + 2y$	$\frac{(\pi/2 - 2)r^2 + (b + 2r)y}{(\pi - 2)r + b + 2y}$	$b + 2r$	$\frac{(\pi/2 - 2)r^2}{b + 2r} + y$	$\frac{[(\pi/2 - 2)r^2 + (b + 2r)y]^{1.5}}{\sqrt{b + 2r}}$
 Round-bottomed triangle	$\frac{T^2}{4z} - \frac{r^2}{z}(1 - x \cot^{-1} x)$	$\frac{T}{z}\sqrt{1+z^2} - \frac{2r}{z}(1 - x \cot^{-1} x)$	$\frac{A}{P}$	$2[x(y-r) + r\sqrt{1+z^2}]$	$\frac{A}{T}$	$A\sqrt{\frac{A}{T}}$

\* Satisfactory approximation for the interval  $0 < x \leq 1$ , where  $x = 4y/T$ . When  $x > 1$ , use the exact expression  $P = (T/2)[\sqrt{1+z^2} + 1/x \ln(x + \sqrt{1+z^2})]$ .

Tableau 2.1 Rugosités équivalentes de sable pour des conduites de divers matériaux et états de surface [2.21].

Rugosité des conduites

Groupe	Types de tuyaux et de matériaux	Etat de la surface des tuyaux et conditions d'exploitation	k <sub>s</sub> [mm]
<b>A. Tuyaux métalliques</b>			
I	Tuyaux étirés sans soudure en laiton, cuivre et plomb Aluminium	1. Techniquement lisses	0,0015 à 0,0100
		2. Idem	0,015-0,06
II	Tuyaux étirés sans soudure en acier (du commerce)	1. Neufs, non utilisés	0,02-0,10
		2. Nettoyés après plusieurs années de service	jusqu'à 0,04
		3. Revêtus de bitume	jusqu'à 0,04
		4. Tuyaux de blindage dans diverses conditions après plusieurs années d'exploitation	0,06-0,22
		5. Tuyauteries de systèmes de chauffage à eau quelles que soient les conditions à l'alimentation	0,20
		6. Oleoducs pour des conditions d'exploitation moyennes	0,20
		7. Moyennement corrodés, petits dépôts de tartre	≈ 0,4
		8. Tuyauteries d'eau depuis longtemps en service	1,2-1,5
		9. Importants dépôts de tartre	≈ 3,0
		10. Surface des tuyaux en mauvais état. Recouvrement inégal des joints	≥ 5,0
III	Tuyaux en acier soudé	1. Neufs ou vieux, en bon état; joints soudés ou rivés	0,04-0,10
		2. Neufs, revêtus de bitume	≈ 0,05
		3. Depuis longtemps en service, le bitume partiellement disparu, corrodés	≈ 0,10
		4. Depuis longtemps en service, corrosion uniforme	≈ 0,15
		5. Sans inégalités notables aux joints; intérieurement enduits (épaisseur de la couche: 10 mm environ); mauvais état superficiel	0,3-0,4
		6. Conduites après de nombreuses années d'exploitation	≈ 0,5
		7. Avec rivure transversale simple ou double; enduits intérieurement (épaisseur de la couche: 10 mm), ou sans revêtement, mais non corrodés	0,6-0,7
		8. Enduits intérieurement, mais non exempts d'oxydation; encrassés au cours du service avec de l'eau, mais non corrodés	0,95-1,0
		9. Avec double rivure transversale, non corrodés; encrassés en cours de service avec de l'eau	1,2-1,5
		10. Dépôts faibles	1,5
		11. Avec double rivure transversale, fortement corrodés	2,0
		12. Dépôts importants	2,0-4,0
		13. Surface des tuyaux en mauvais état; recouvrement non uniforme des joints	≥ 5,0

- تابع الجدول رقم (2) -

28

RAPPEL DES BASES

**Tableau 2.1** Rugosités équivalentes de sable pour des conduites de divers matériaux et états de surface [2.21] (suite).

Groupe	Types de tuyaux et de matériaux	Etat de la surface des tuyaux et conditions d'exploitation	k, [mm]
IV	Tuyaux en acier rivés	1. Rivés en long et en travers avec une seule rangée de rivets; intérieurement enduits (épaisseur de la couche 10 mm); bon état de la surface	0,3-0,4
		2. Avec rivure longitudinale double et transversale simple; intérieurement enduits (épaisseur de la couche 10 mm) ou non, mais non corrodés	0,6-0,7
		3. Avec rivure transversale simple et longitudinale double; intérieurement goudronnés ou enduits (épaisseur de la couche 10 à 20 mm)	1,2-1,3
		4. Avec quatre à six rangées longitudinales de rivets, longue durée de service	2,0
		5. Avec quatre rangées transversales et six rangées longitudinales de rivets, joints intérieurement recouverts	4,0
		6. Surface des tuyaux en très mauvais état; recouvrement non uniforme des joints	≥ 5,0
V	Tuyaux en acier galvanisé	1. Neufs, galvanisation propre	0,07-0,10
		2. Galvanisation ordinaire	0,1-0,15
VI	Tuyaux en tôle galvanisée	1. Neufs	0,15
		2. Depuis longtemps en service avec de l'eau	0,18
VII	Tuyaux en fonte	1. Neufs	0,25-1,0
		2. Neufs, revêtus de bitume	0,10-0,15
		3. Asphaltés	0,12-0,30
		4. Tuyauterie d'eau, depuis longtemps en service	1,4
		5. Depuis longtemps en service, corrodés	1,0-1,5
		6. Avec dépôts	1,0-1,5
		7. Dépôts importants	2,0-4,0
		8. Nettoyés après plusieurs années de service	0,3-1,5
		9. Fortement corrodés	jusqu'à 3,0
<b>B. Conduites et canaux en béton, en ciment et autres</b>			
I	Tuyaux en béton	1. Bonne surface, avec lissage 2. Conditions moyennes 3. Surface rugueuse	0,3-0,8 2,5 3-9
II	Tuyaux en béton armé		2,5
III	Tuyaux en fibrociment	1. Neufs 2. Durée moyenne d'utilisation	0,05-0,10 ≈ 0,60
IV	Tuyaux en ciment	1. Lissés	0,3-0,8
		2. Bruts	1,0-2,0
		3. Solution de ciment non lissée aux joints	1,9-6,4



Tableau 2.1 Rugosités équivalentes de sable pour des conduites de divers matériaux et états de surface [2.21] (suite).

Groupe	Types de tuyaux et de matériaux	Etat de la surface des tuyaux et conditions d'exploitation	$k_s$ [mm]
V	Canal avec enduit de ciment	1. Bon enduit en ciment pur avec joints lissés (toutes les megalites sont supprimées) travaillé avec un coffrage métallique 2. Avec lissage	0.05-0.22 0.5
VI	Enduit sur toile métallique		10-15
VII	Canaux en grès vernissé		1.4
VIII	Dalles en béton de scorie		1.5
IX	Dalles en béton de scorie, de sciure et d'albâtre	Dalles soigneusement exécutées	1.0-1.5
<b>C. Conduites en bois, en contre-plaqué et en verre</b>			
I	Tuyaux bois	1. Planches très soigneusement rabotées 2. Planches bien rabotées 3. Planches non rabotées bien ajustées 4. Planches plus grossières 5. Tuyaux en douves	0.15 0.30 0.70 1.00 0.60
II	Tuyaux en contre-plaqué	1. En bon contre-plaqué de bouleau avec disposition transversale des fibres 2. En bon contre-plaqué de bouleau avec disposition longitudinale des fibres	0.12 0.03-0.05
III	Tubes en verre	Verre pur	0.0015-0.010

